

Odhad dožitého věku z kostry

PROBLÉM

chronologický vs. biologický věk vs. kosterní věk

růstové vs. degenerativní změny

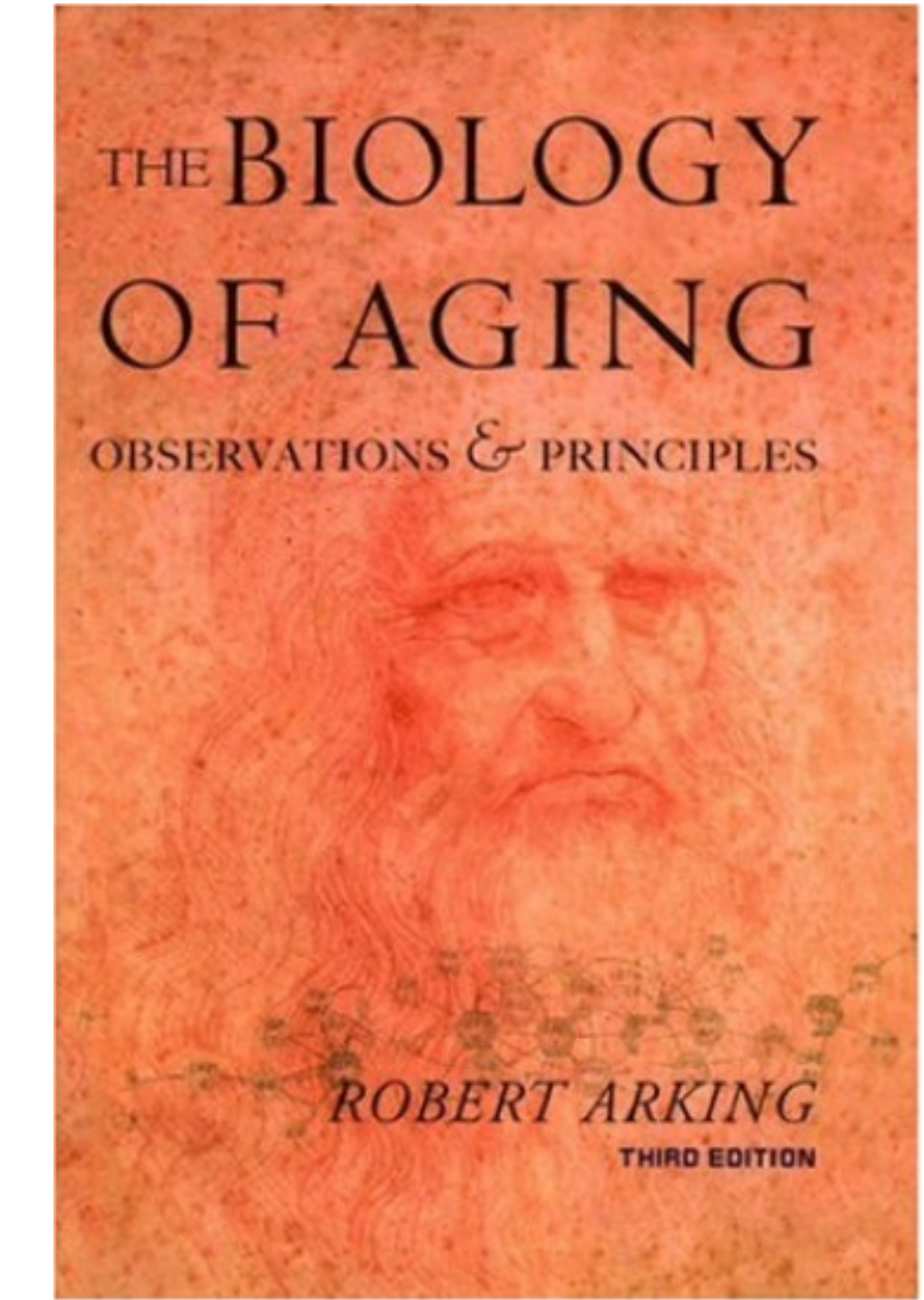
sexuální dimorfismus

individuální variabilita

populační rozdíly

sociokulturní podmínky

MAYS, Simon. The effect of factors other than age upon skeletal age indicators in the adult. *Annals of human biology*, 2015, 42.4: 332-341.



Jak hodnotit? aspektivní: seriace, typologie, škálování
metrické

ZÁSADY PRO ODHAD VĚKU Z LIDSKÉ KOSTRY

1. ZNALOST MATERIÁLU (historický vs. recentní, M vs. Ž, populační příslušnost)
2. ZNALOST METODY (vycházet z původní studie, na jaké populaci byla vytvořena, jestli je určena pro muže nebo pro ženy, spolehlivost a opakovatelnost)
3. VÝBĚR METODY (zachovalost, po zvážení výše uvedených kritérií)
4. INTERPRETACE (v případě výběru více metod neprůměrovat)

ODHAD VĚKU LIDSKÉHO PLODU

Délka dlouhých kostí plodu v závislosti na věku (Fazekas a Kósa 1978)

věk	délka těla	Humerus délka	Humerus šířka	Radius	Ulna	Femur délka	Femur šířka	Tibia	Fibula
3	95	8.8	1.9	6.7	7.2	8.5	1.9	6.0	6.0
3 1/2	123	12.4	2.2	10.1	11.2	12.4	2.2	10.2	9.9
4	173	19.5	4.7	17.2	19.0	20.7	4.7	17.4	16.7
4 1/2	220	25.8	6.1	21.5	23.9	26.4	6.2	23.4	22.6
5	256	31.8	7.8	26.2	29.4	32.6	8.02	28.5	27.8
5 1/2	275	34.5	8.3	28.9	31.6	35.7	8.8	32.6	31.1
6	306	37.6	9.3	31.6	35.1	40.3	9.8	35.8	34.3
6 1/2	326	39.9	9.9	33.4	37.1	41.9	10.6	37.9	36.5
7	354	44.2	10.9	35.6	40.2	47.0	11.8	42.0	40.0
7 1/2	375	45.8	11.9	38.2	42.8	48.7	12.3	43.9	42.8
8	400	50.4	12.9	40.8	46.7	55.5	14.3	48.2	46.8
8 1/2	424	53.1	13.6	43.3	49.1	59.8	15.3	52.7	50.5
9	455	55.5	14.4	45.7	51.0	62.5	16.4	54.8	51.6
9 1/2	480	61.3	15.7	48.8	55.9	68.9	18.7	59.9	57.6
10	516	64.9	16.8	51.8	59.3	74.3	19.9	65.1	62.3

Věk je udáván v lunárních měsících, délka kostí a těla v mm.

FORENSIC FETAL OSTEOLOGY

I. Gy. Fazekas
and F. Kósa

Akadémiai Kiadó
Budapest



FAZEKAS, István Gyula; KÓSA, Ferenc. Forensic fetal osteology. Akadémiai Kiadó, 1978.

ODHAD VĚKU LIDSKÉHO PLODU

PŮVODNÍ STUDIE

FAZEKAS, I. Gy; KÓSA, F. Neuere Beiträge und vergleichende
Untersuchungen von Feten zur Bestimmung der Körperlänge auf Grund der
Diaphysenmaße der Extremitätenknochen. International Journal of Legal Medicine, 1966, 58.2:
142-160.

138 JEDINCŮ (71 M, 67 Ž)

$$\text{Körperlänge (cm)} = \text{Humeruslänge (cm)} \times 7,524 + 2,4717$$

$$\text{Körperlänge (cm)} = \text{Humerusbreite (cm)} \times 28,304 + 3,9504$$

$$\text{Körperlänge (cm)} = \text{Radiuslänge (cm)} \times 10,614 - 2,1125$$

$$\text{Körperlänge (cm)} = \text{Ulnalänge (cm)} \times 8,196 + 2,3779$$

$$\text{Körperlänge (cm)} = \text{Femurlänge (cm)} \times 6,444 + 4,5082$$

$$\text{Körperlänge (cm)} = \text{Femurbreite (cm)} \times 22,629 + 7,5659$$

$$\text{Körperlänge (cm)} = \text{Tibialänge (cm)} \times 7,236 + 4,9031$$

$$\text{Körperlänge (cm)} = \text{Fibulalänge (cm)} \times 7,592 + 4,6841$$

VĚK NÁSLEDNĚ STANOVEN DLE HAASE-HO PRAVIDLA:

1.-5. měsíc intrauterinního vývoje → druhá mocnina délky plodu v cm určí přibližně stáří

6.-9. měsíc intrauterinního vývoje → délka plodu v cm děleno 5 určí stáří v měsících

ODHAD VĚKU LIDSKÉHO PLODU

DALŠÍ STUDIE

SCHEUER, J. L.; MUSGRAVE, J. H.; EVANS, S. P. The estimation of late fetal and perinatal age from limb bone length by linear and logarithmic regression. *Annals of Human Biology*, 1980, 7.3: 257-265.

17 JEDINCŮ (BEZ SPECIFIKACE POHLAVÍ), The Bristol Royal Hospital for Sick Children, Bristol, UK

65 JEDINCŮ (29 M, 36 Ž), The London University Institute of Child Health, London, UK

Table 3. Regression of age on fetal limb bone shaft length (ICH data). Age in weeks; bone length in mm.
Females only. Sample $n=36$. A = Standard error of estimate; B = $r(y:x)$; C = $r(\text{estimated } y:\text{observed } y)$.

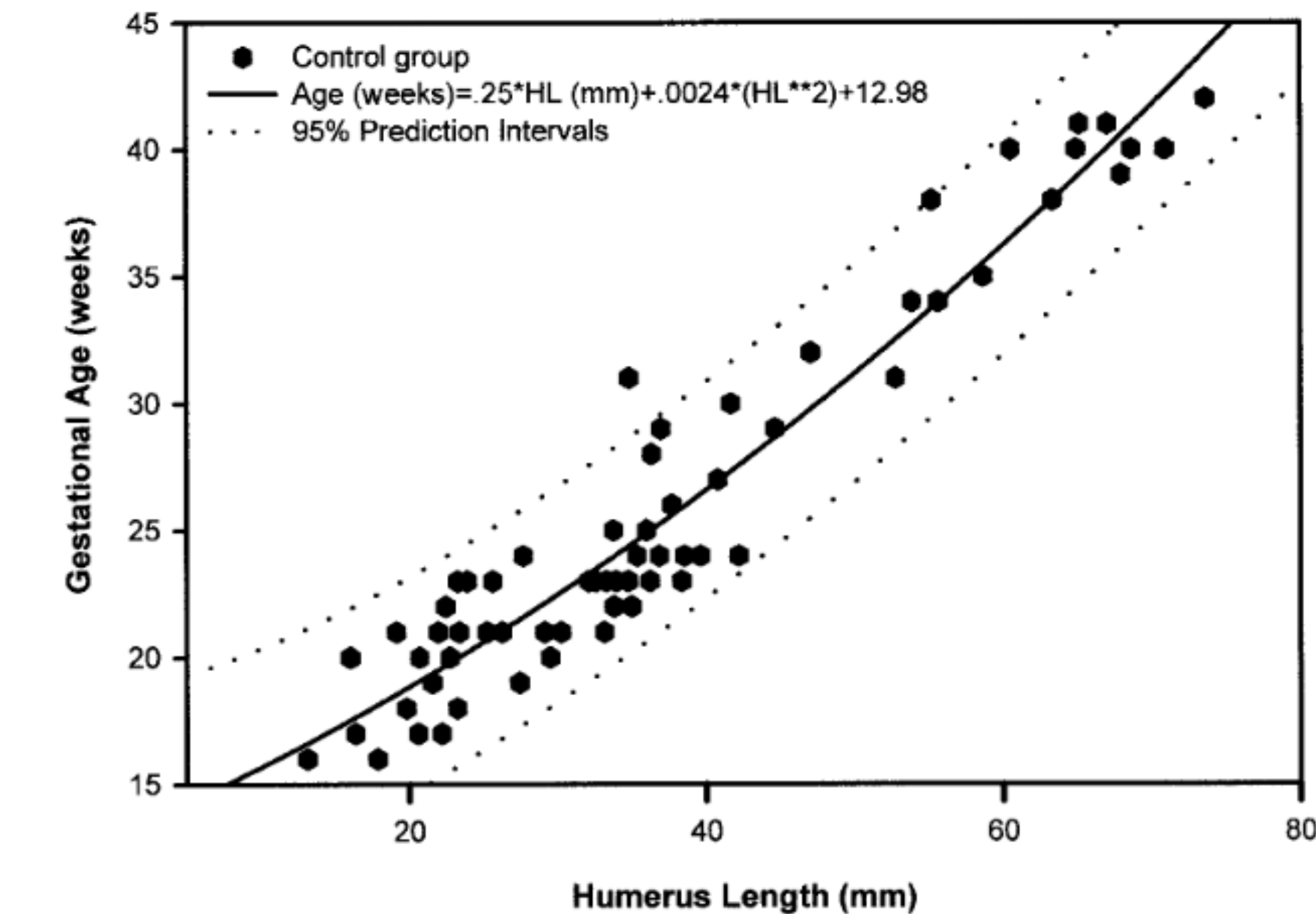
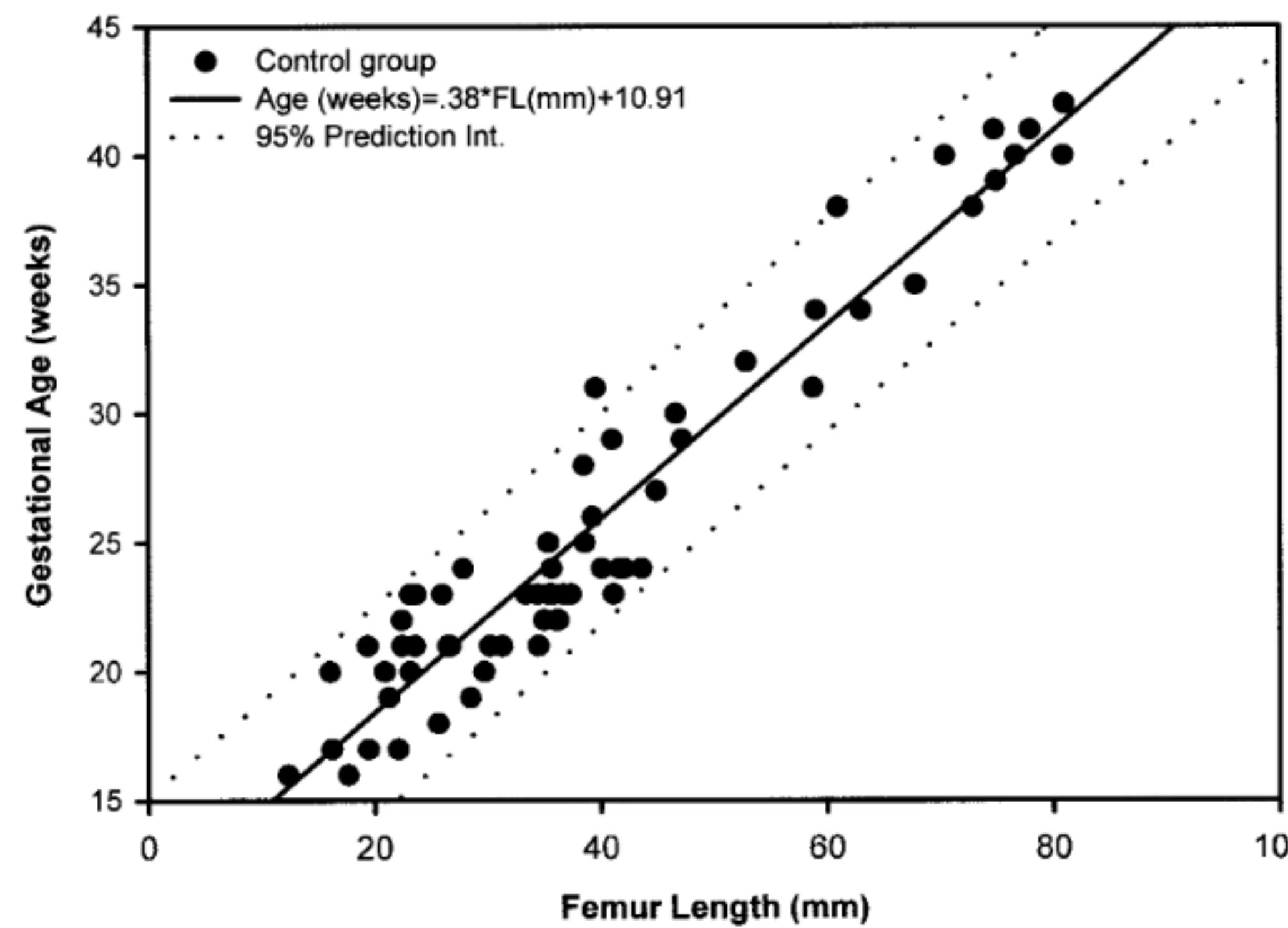
Method number	Bone(s) and method	Regression equation	A	B	C
3.01	Multiple linear regression	+0.1765 FEM +0.4122 TIB +0.0250 HUM -0.2157 RAD +0.0904 ULN	+3.8915	1.96	0.85
3.02	Multiple linear regression	+0.1509 FEM +0.4056 TIB	+2.2947	1.90	0.84
3.03	Multiple linear regression	+0.2558 HUM +0.0427 RAD +0.2622 ULN	+4.3371	2.46	0.72

ODHAD VĚKU LIDSKÉHO PLODU

DALŠÍ STUDIE

SHERWOOD, Richard J., et al. Fetal age: methods of estimation and effects of pathology.
American Journal of Physical Anthropology, 2000, 113.3: 305-315.

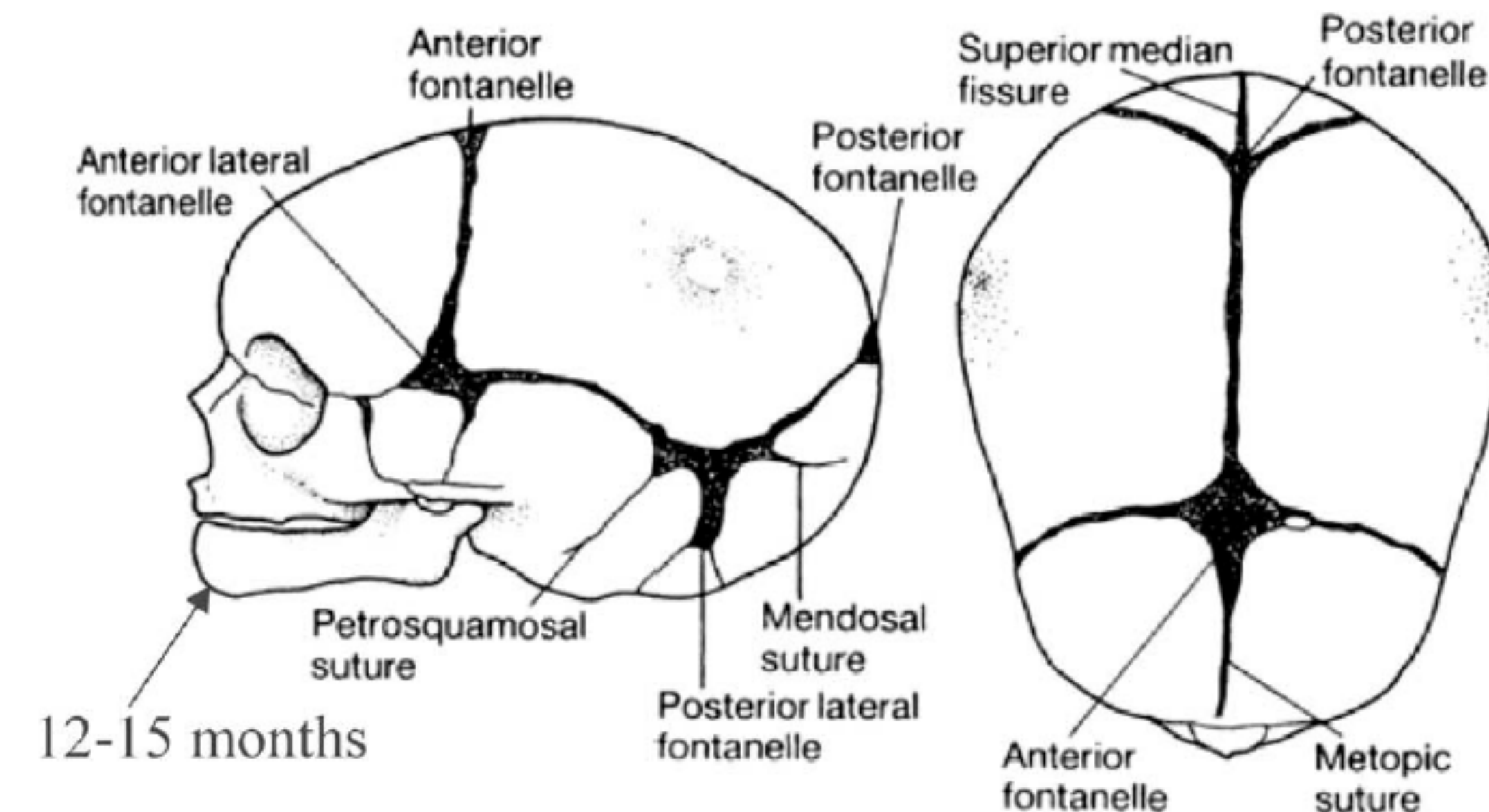
72 JEDINCŮ (BEZ SPECIFIKACE POHLAVÍ), Akron Children's Hospital, Ohio, USA



ZNAKY NOVOROZENCE

1. přítomnost osifikačních center: talus, calcaneus, os cuboideum, distální část femuru, proximální část tibie, caput humeri, os capitatum

2. nesrostlé fontanely



Fonticulus major (frontalis, anterior) – v místě překřížení sutura sagittalis a sutura coronalis, mizí mezi 1. a 2. rokem života

Fonticulus minor (occipitalis, posterior) – v místě překřížení sutura sagittalis a sutura lambdoidea, mizí záhy po narození, nejpozději ve 3 až 6 měsíci života, v některých případech není patrný již při narození

Fonticulus sphenoidalis (anterolateralis) – v místě styku kosti čelní, temenní, spánkové a klínové, mizí brzy po narození, nejpozději do konce 6. měsíce.

Fonticulus mastoideus (posterolateralis) – v místě styku kosti temenní, spánkové a týlní, mizí brzy po narození, nejpozději v 6. měsíci života.

ODHAD VĚKU NEDOSPĚLÝCH JEDINCŮ

DÉLKA DLOUHÝCH KOSTÍ

STLOUKAL, Milan; HANÁKOVÁ, Hana. Die Länge der Längsknochen
altslawischer Bevölkerungen unter besonderer Berücksichtigung von
Wachstumsfragen. Homo, 1978, 29.1: 53-69.

STAROSLOVANSKÁ POPULACE
POČET JEDINCŮ ?

Vztah délky dlouhých kostí končetin a věku dětí od 6 měs. do 14 let (Stloukal a Hanáková 1978)

věk	pažní kost průměr	vřetenní kost průměr	loketní kost průměr	stehenní kost průměr	holenní kost průměr
6 měs.	88.1 (78 -97.0)	69.7 (63 -75.0)	75.9 (72 -80.0)	108.1 (95 -122)	88.8 (84 -93.0)
12 měs.	97.9 (89 -106)	76.7 (68 -85.0)	83.1 (79 -86.0)	122.0 (109-135)	99.2 (93 -105)
18 měs.	108.6 (98 -118)	84.1 (75 -90.0)	91.3 (85 -95.0)	137.5 (122-152)	111.4 (102 -120)
24 měs.	117.5 (106-129)	89.8 (80 -96.0)	98.5 (93-102)	149.6 (135-166)	121.4 (109 -131)
30 měs.	124.9 (113-138)	95.1 (86 -103)	104.7 (98 -110)	160.9 (143-182)	131.7 (117 -144)
3 roky	133.5 (120-147)	101.6 (93 -110)	111.4 (104-117)	174.1 (156-196)	142.2 (127 -156)
4 roky	142.7 (128-159)	108.3 (98 -120)	119.8 (111-129)	188.3 (169-213)	151.9 (136 -171)
5 let	152.4 (136-170)	116.0 (105-130)	128.0 (118-139)	203.2 (183-230)	164.1 (146 -184)
6 let	163.8 (147-181)	125.1 (114-140)	137.3 (125-152)	221.1 (198-246)	177.1 (158 -201)
7 let	174.8 (157-192)	133.5 (121-152)	147.2 (134-164)	238.1 (214-263)	188.9 (168 -216)
8 let	184.6 (169-210)	141.9 (130-160)	157.1 (145-174)	253.0 (228-278)	202.0 (180 -227)
9 let	194.3 (178-210)	149.2 (139-163)	164.4 (154-178)	266.5 (241-290)	213.6 (191 -235)
10 let	203.9 (186-218)	156.9 (149-168)	172.4 (163-186)	281.2 (254-305)	224.3 (202 -246)
11 let	211.9 (196-224)	163.3 (156-175)	178.1 (169-193)	292.5 (265-323)	235.1 (212 -259)
12 let	219.9 (202-234)	168.8 (160-179)	182.9 (173-198)	302.9 (279-337)	244.4 (218 -368)
13 let	231.2 (211-247)	175.7 (165-188)	190.7 (178-208)	319.0 (286-358)	256.1 (227 -283)
14 let	240.8 (220-257)	182.5 (166-200)	198.0 (183-221)	333.3 (296-382)	269.8 (235 -301)

ODHAD VĚKU NEDOSPĚLÝCH JEDINCŮ

DÉLKA DLOUHÝCH KOSTÍ

RISSECH, Carme; SCHAEFER, Maureen; MALGOSA, Assumpció.

Development of the femur—implications for age and sex determination.

Forensic science international, 2008, 180.1: 1-9.

346 JEDINCŮ (173 M, 173 Ž)

St. Bride's collection, Crypt of St. Bride's, London, UK

Esqueletos Identificados, Anthropological museum of the University of Coimbra, Coimbra, Portugal

Lisbon collection, Museu Bocage of Lisbon, Lisbon, Portugal

Skeletal series of the Universitat Autonoma de Barcelona (UAB), Biological Anthropology Unit of the UAB, Barcelona, Spain

Scheuer Collection, Centre of Anatomy and Forensic Anthropology of the University of Dundee, Dundee, Scotland

	R^2	Age limit
Males		
Age = $0.054 \times$ diaphyseal length – 6.337	0.949	Up to 17 years
Age = $0.054 \times$ diaphyseal length plus distal epiphysis – 7.367	0.946	Up to 17 years
Age = $0.061 \times$ maximum femoral length – 9.549	0.923	Up to 19 years
Age = $0.595 \times$ vertical diameter of the femoral head – 8.992	0.947	Up to 17 years
Females		
Age = $0.058 \times$ diaphyseal length – 6.771	0.890	Up to 16 years
Age = $0.056 \times$ diaphyseal length plus distal epiphysis – 7.160	0.852	Up to 16 years
Age = $0.055 \times$ maximum femoral length – 7.256	0.835	Up to 17 years
Age = $0.559 \times$ vertical diameter of the femur head – 7.577	0.896	Up to 15 years
Unisex series		
Age = $0.056 \times$ diaphyseal length – 6.489	0.925	Up to 16 years
Age = $0.055 \times$ diaphyseal length plus distal epiphysis – 7.130	0.897	Up to 16 years
Age = $0.051 \times$ maximum femur length – 6.690	0.859	Up to 15 years
Age = $0.560 \times$ vertical diameter of the femur head – 7.890	0.890	Up to 15 years

ODHAD VĚKU NEDOSPĚLÝCH JEDINCŮ SRŮST RŮSTOVÝCH CHRUPAVEK

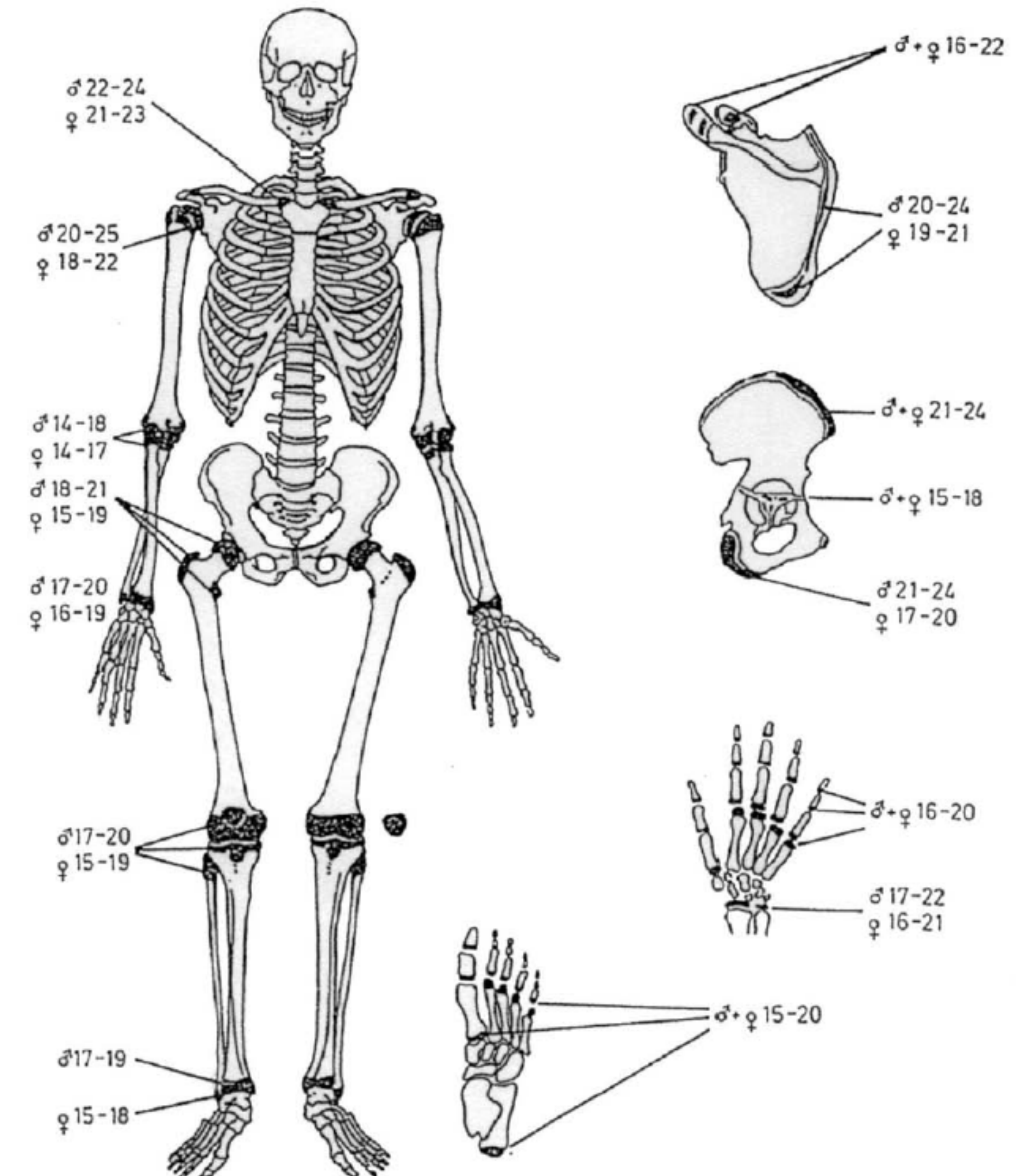
FEREMBACH, Denise; SCHWINDEZKY, I.; STOUKAL, M.

Recommendation for age and sex diagnoses of skeletons. Journal of human evolution, 1980, 9: 517-549.

(Brothwell 1965, Wolff-Heidegger 1954, Rauber & Kopsch 1952,
Haret et al. 1927, Gray's Anatomy 1967)

PŮVODNÍ STUDIE?

DATA?

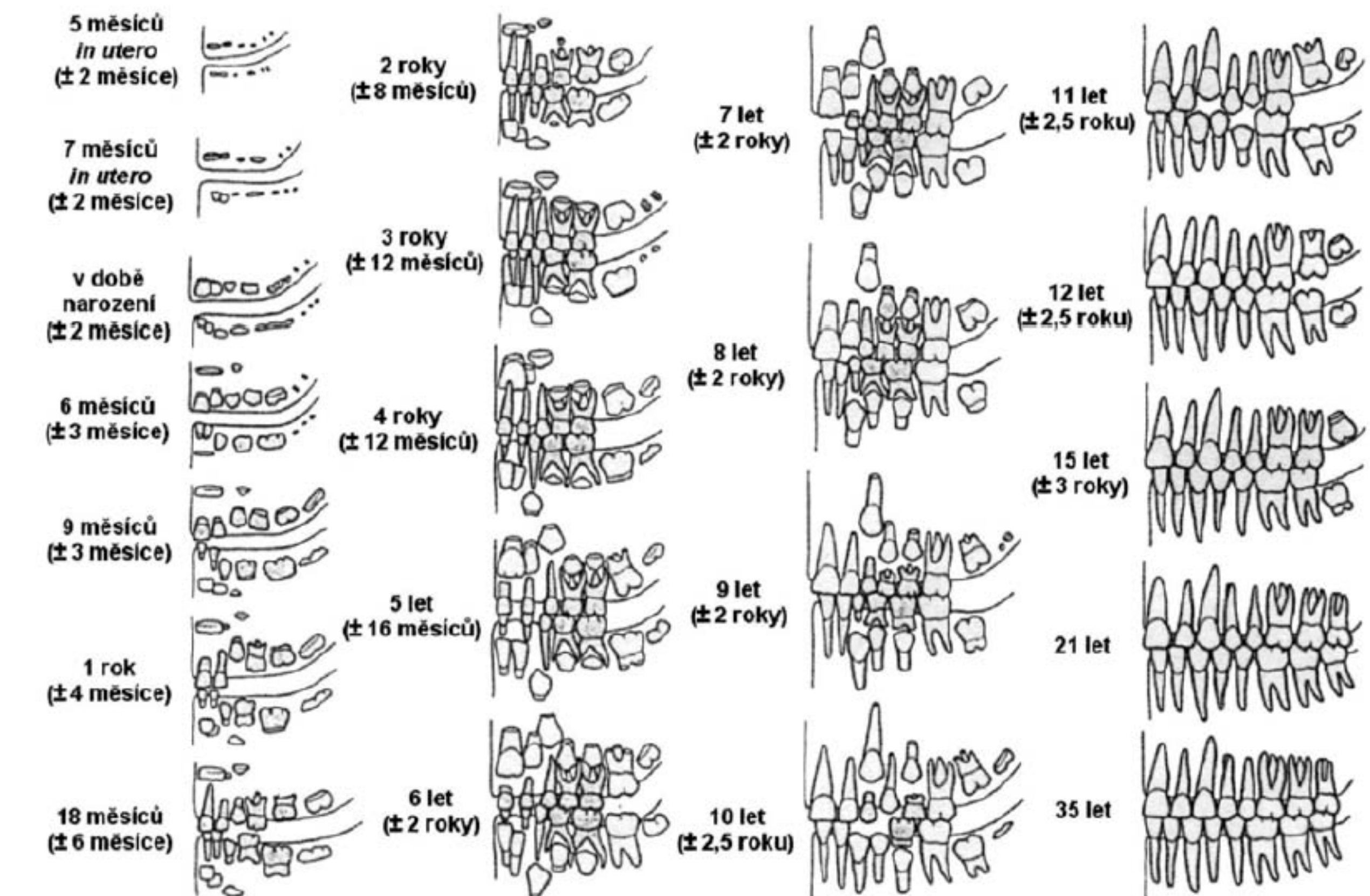


ODHAD VĚKU NEDOSPĚLÝCH JEDINCŮ

ROZVOJ CHRUPU

UBERLAKER, D. H. Human skeletal remains. Manuals on Archeology, 1978, 2.

PŮVODNÍ STUDIE?
DATA?

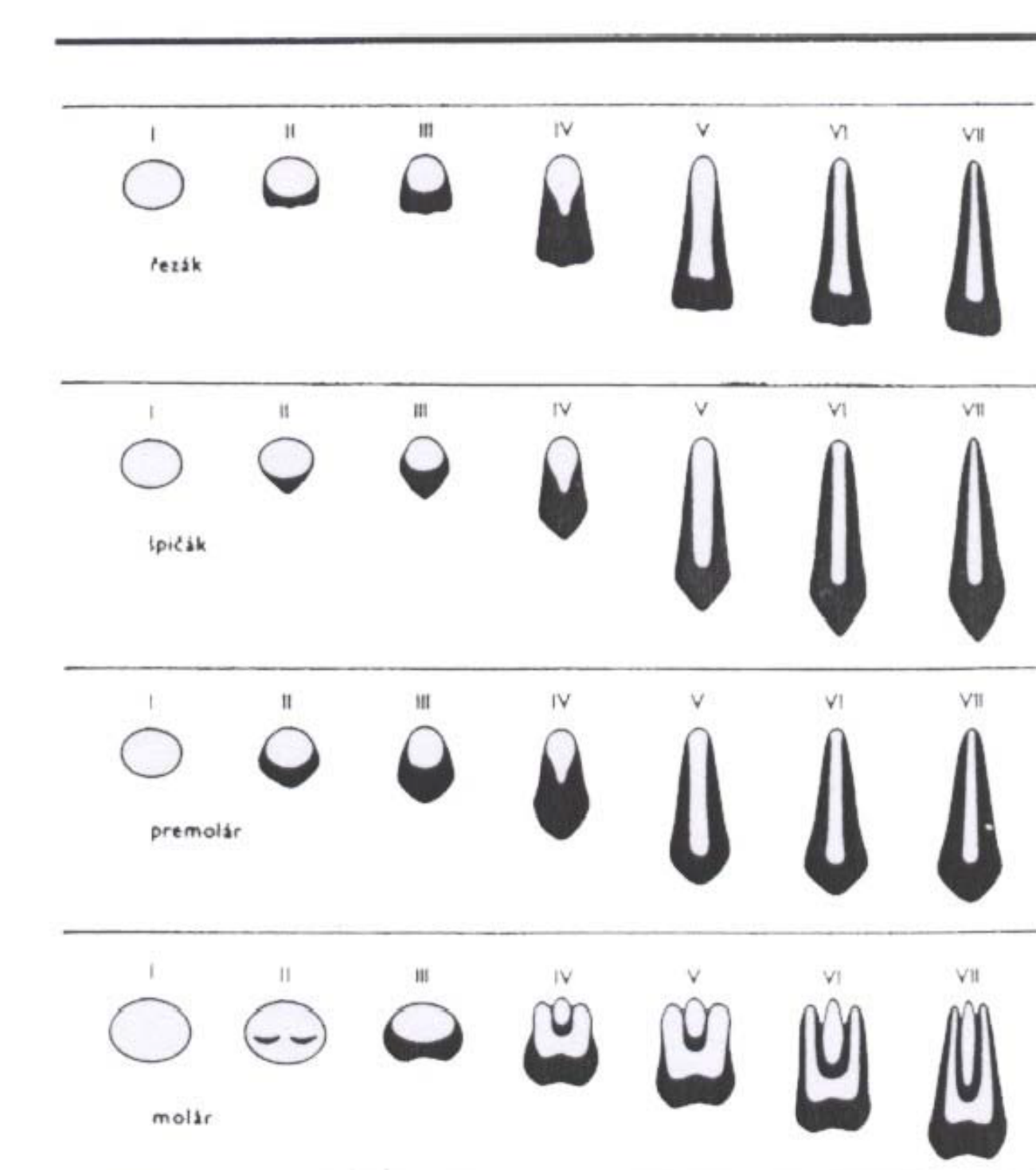
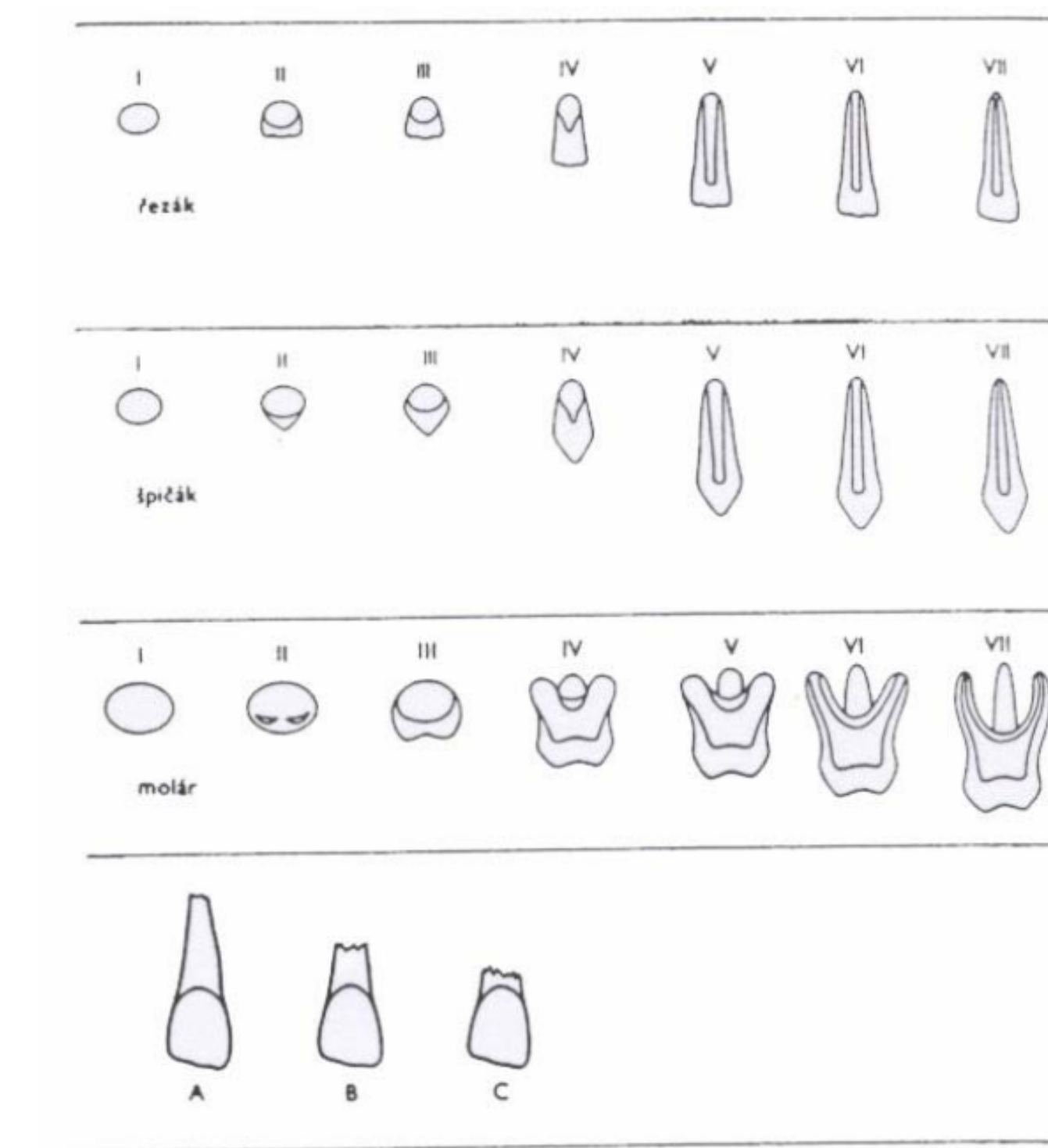


ODHAD VĚKU NEDOŠPĚLÝCH JEDINCŮ

ROZVOJ CHRUPU

KOMÍNEK, Jaroslav; ROZKOVCOVÁ, Eva. Metoda určování zubního věku a její význam pro praxi. Pokroky ve stomatologii, 1984, 2: 175-208.

RTG SNÍMKY ČESKÝCH DĚtí, POČET JEDINCŮ?
ODHAD DO 15 LET VĚKU

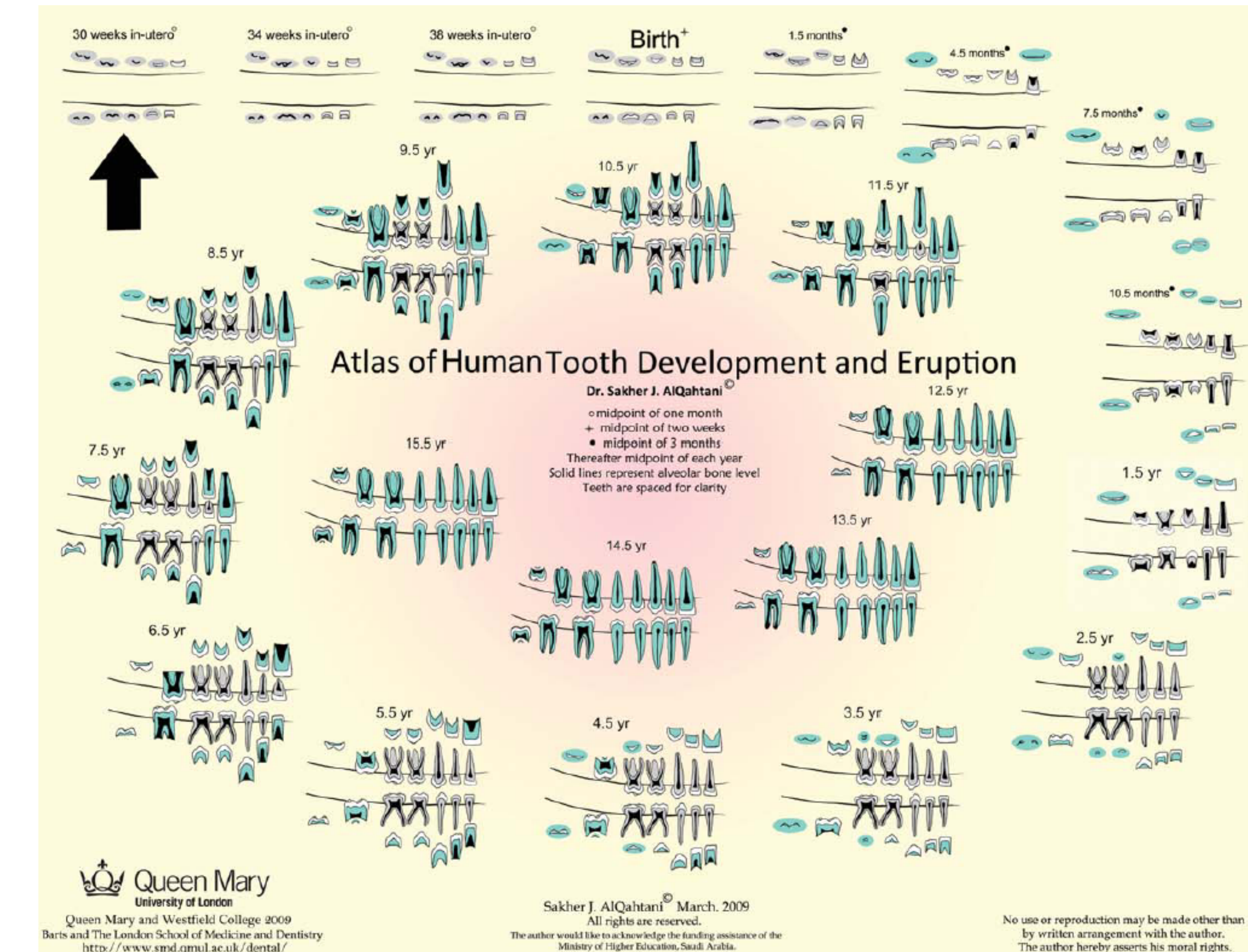


ODHAD VĚKU NEDOSPĚLÝCH JEDINCŮ

ROZVOJ CHRUPU

ALQAHTANI, Sakher J.; HECTOR, M. P.;
LIVERSIDGE, H. M. Brief
communication: the London atlas of human tooth
development and eruption.
American Journal of Physical Anthropology,
2010, 142.3: 481-490.

704 JEDINCŮ (368 M, 336 Ž)
NĚKOLIK ZDROJŮ DAT Z UK



DOSPĚLÝ / NEDOSPĚLÝ

SYNCHONDROSIS SPHENO-OCCIPITALIS ?

BASSED, Richard B.; BRIGGS, C.; DRUMMER, Olaf H. Analysis of time of closure of the spheno-occipital synchondrosis using computed tomography. *Forensic science international*, 2010, 200.1: 161-164.

666 JEDINCŮ, Victorian Institute of Forensic Medicine, Austrálie

" Results show that fusion was well underway by the age of 15 years and was complete by 17 years."

SHIRLEY, Natalie R.; JANTZ, Richard L. Spheno-occipital synchondrosis fusion in modern Americans. *Journal of forensic sciences*, 2011, 56.3: 580-585.

162 JEDINCŮ (62 M, 100 Ž), Forensic DataBank, USA

"The maximum likelihood estimates from the transition analysis indicate that females are most likely to transition from open to closing at 11.4 years and males at 16.5 years."

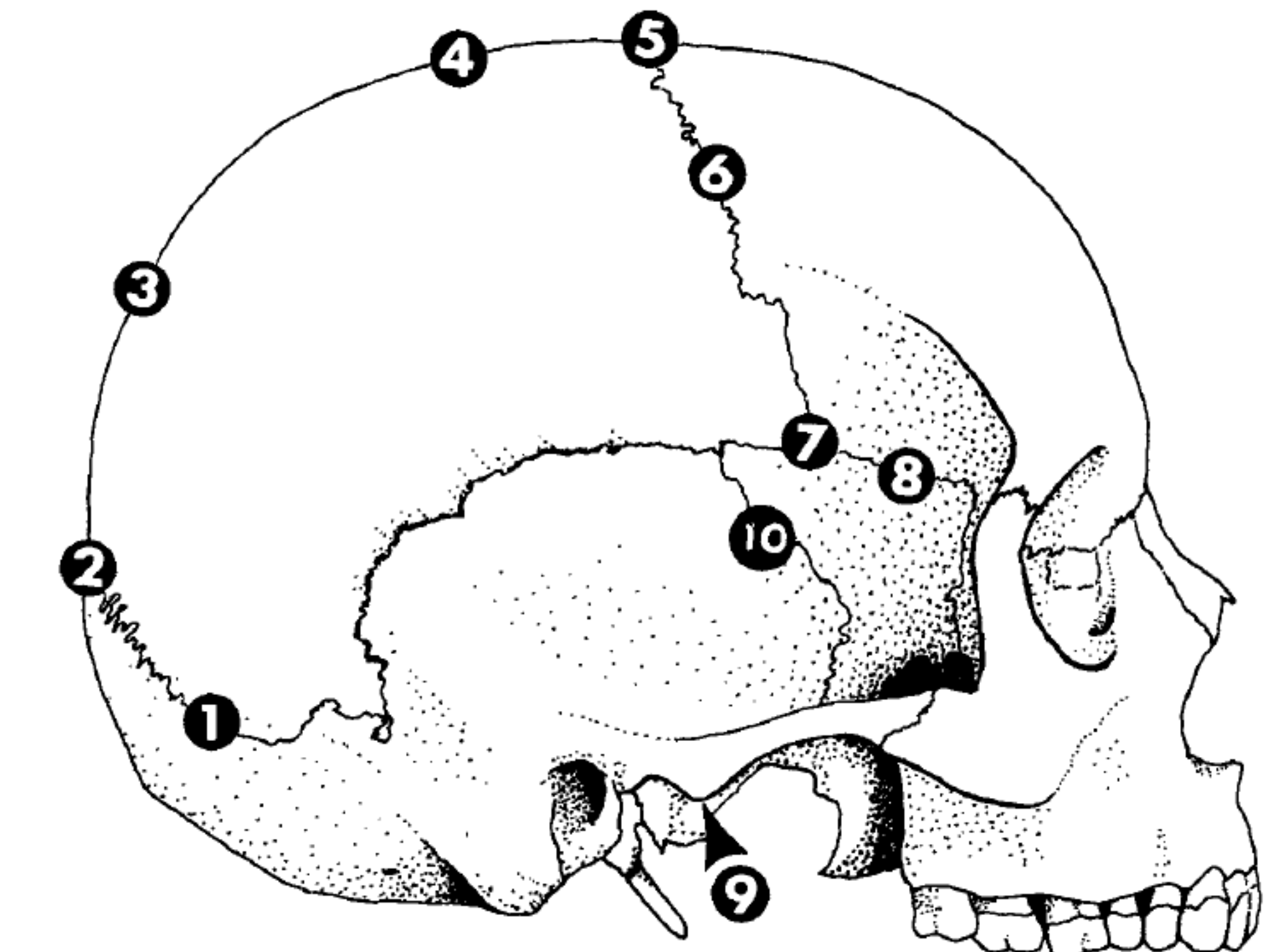
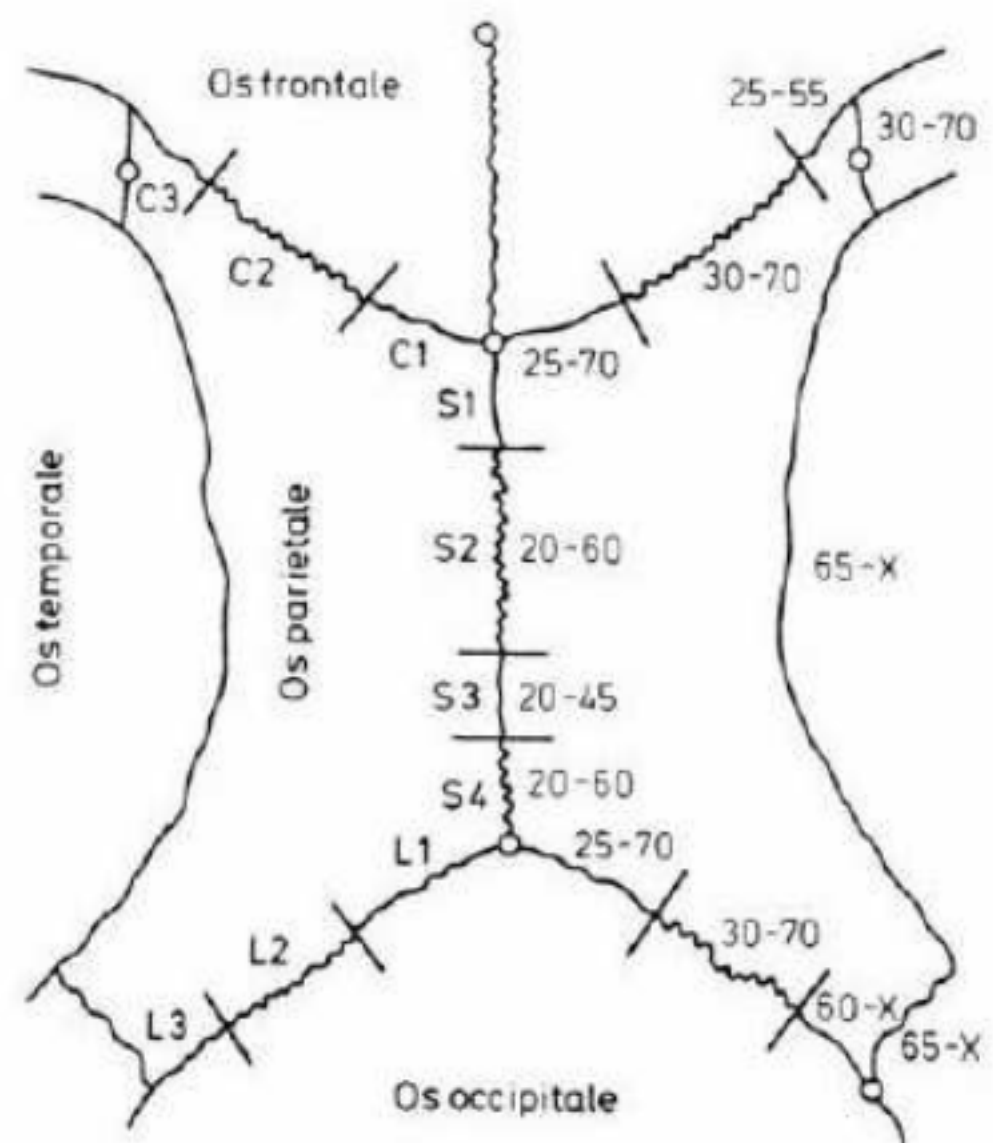
ODHAD VĚKU DOSPĚLÝCH JEDINCŮ

LEBEČNÍ ŠVY

MEINDL, Richard S.; LOVEJOY, C. Owen. Ectocranial suture closure: A revised method for the determination of skeletal age at death based on the lateral-anterior sutures. *American journal of physical anthropology*, 1985, 68.1: 57-66.

236 JEDINCŮ (? M, ? Ž)

HAMANN-TODD COLLECTION, CLEVELAND MUSEUM OF NATURAL HISTORY, CLEVELAND, OHIO, USA



ODHAD VĚKU DOSPĚLÝCH JEDINCŮ

FACIES SYMPHYSIALIS

TODD, T. Wingate. Age changes in the pubic bone. I. The male white pubis. American Journal of Physical Anthropology, 1920, 3.3: 285-334.

232 JEDINCŮ

"WHITE" (125 M, 10 ž)

"NEGROID" (68 M, 29 ž)

TODD, T. Wingate. Age changes in the pubic bone. American Journal of Physical Anthropology, 1921, 4.1: 1-70.

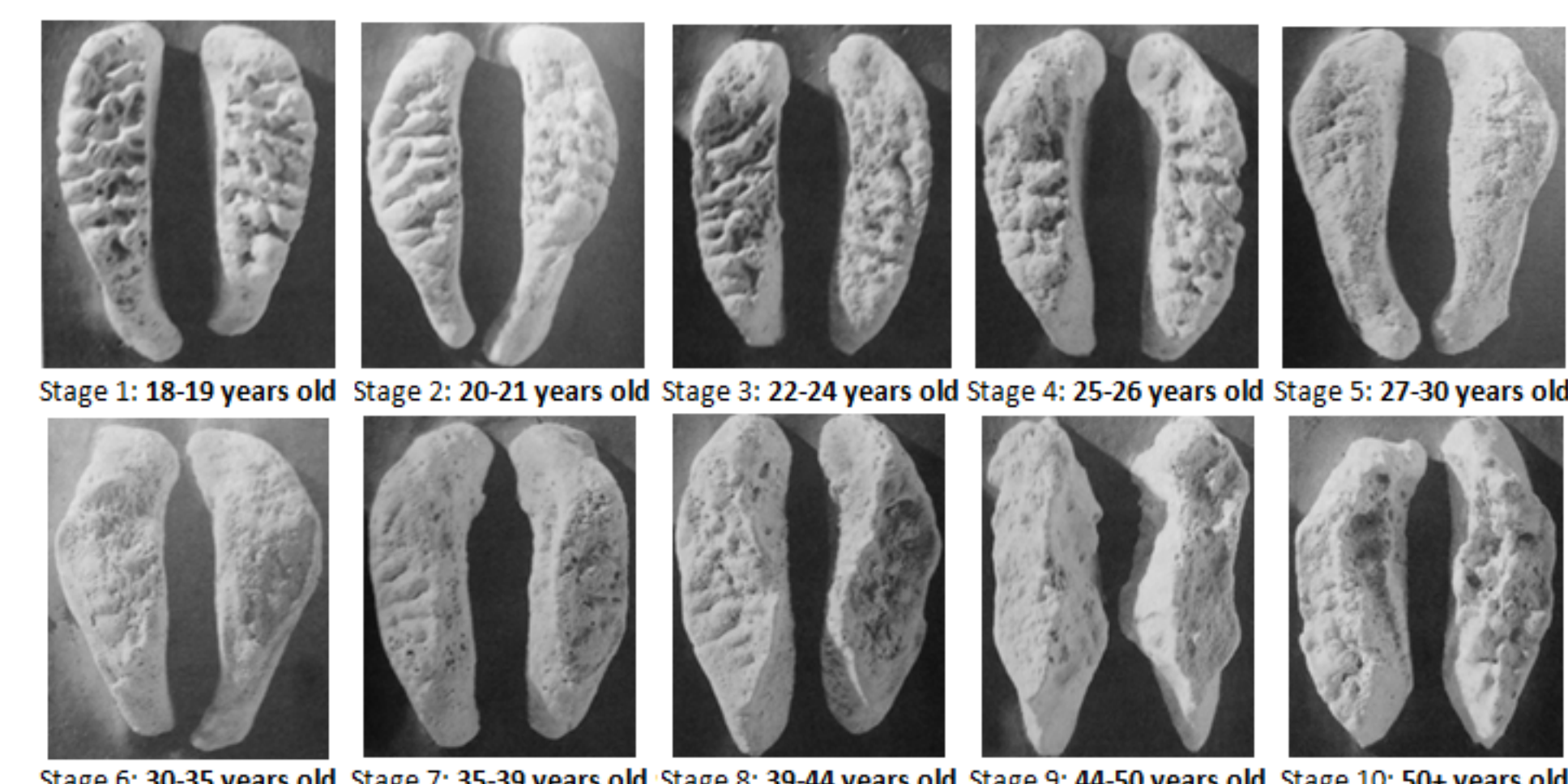
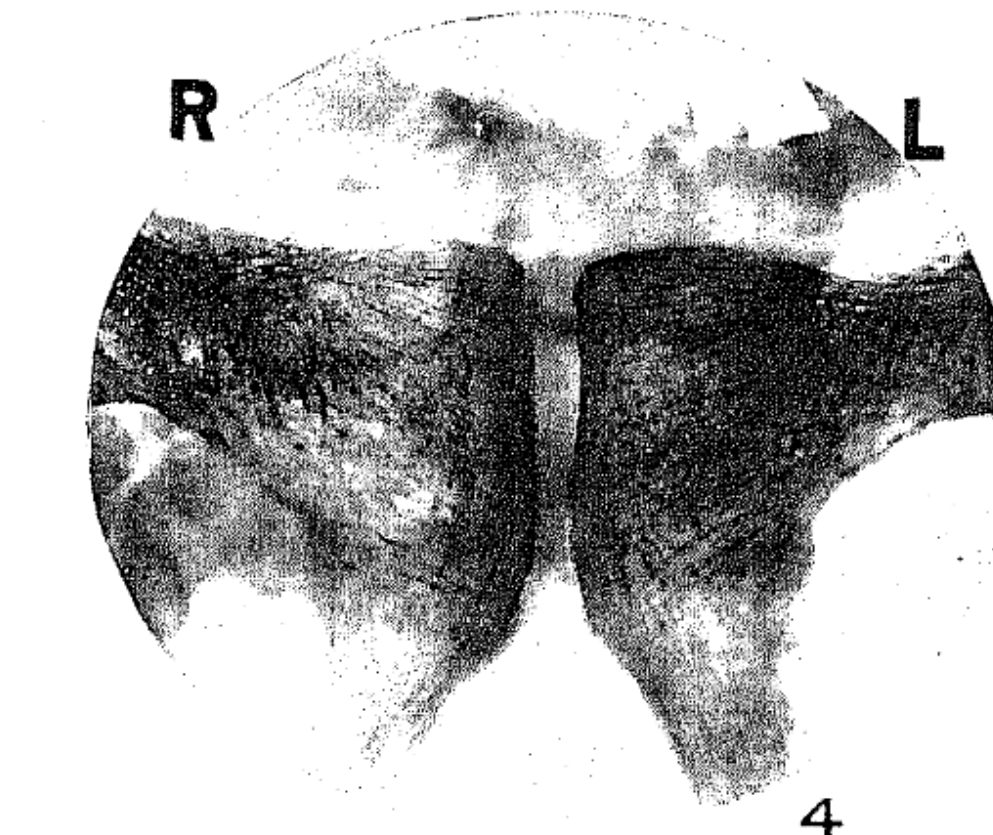
159 JEDINCŮ

"WHITE FEMALE" (47)

"NEGRO-WHITE HYBRID" (90 M, 22 ž)

HAMANN-TODD COLLECTION, CLEVELAND MUSEUM OF NATURAL HISTORY, CLEVELAND, OHIO, USA

PROBLEMATICKÝ STAV DOKUMENTACE K SOUBORU



Todd's (1920) ten age phases of pubic symphysis modification in adult white males.

ODHAD VĚKU DOSPĚLÝCH JEDINCŮ

FACIES SYMPHYSIALIS

MCKERN, Thomas W.; STEWART, Thomas Dale. Skeletal age changes in young American males analysed from the standpoint of age identification.
QUARTERMASTER RESEARCH AND ENGINEERING COMMAND
NATICK MA, 1957.

375 JEDINCŮ (M, VOJÁCI Z KOREJSKÝ VÁLKY), USA

GILBERT, B. Miles; MCKERN, Thomas W. A method for aging the female os pubis. *American Journal of Physical Anthropology*, 1973, 38.1: 31-38.

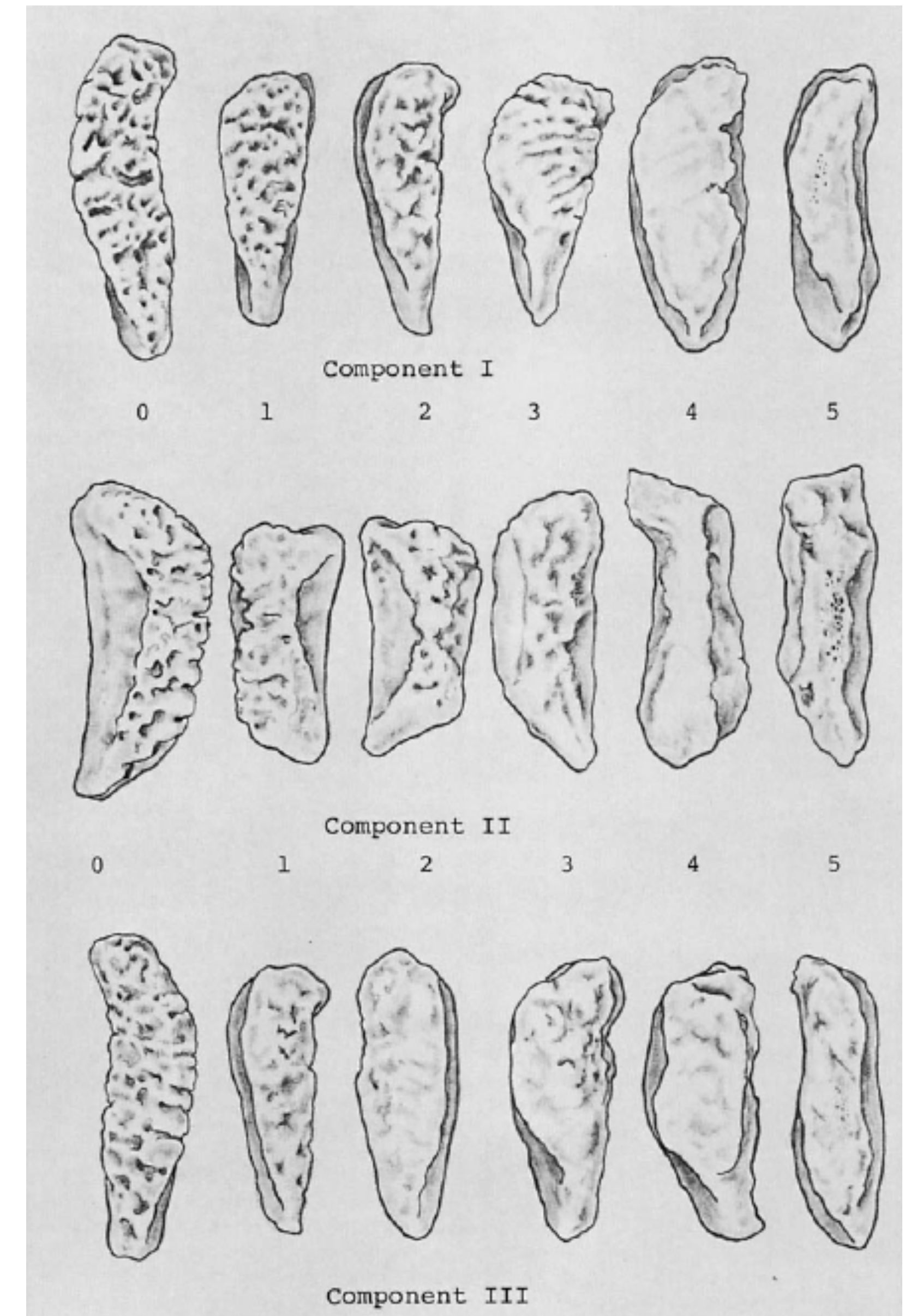
120 + 60 JEDINCŮ (Ž), USA

HANIHARA, Kazuro; SUZUKI, Takao. Estimation of age from the pubic symphysis by means of multiple regression analysis. *American Journal of Physical Anthropology*, 1978, 48.2: 233-239.

70 JEDINCŮ

33 Department of Anatomy, University of Tokyo, Japan

37 Department of Anatomy, Sapporo Medical College, Japan

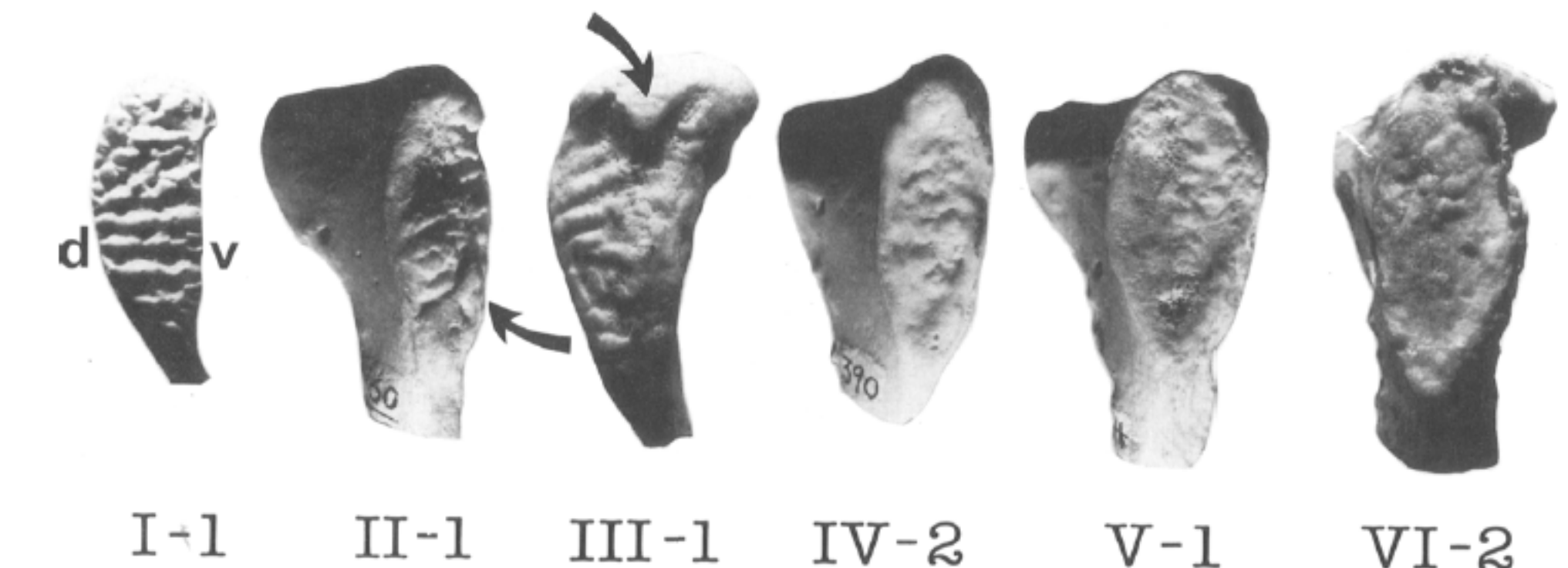


ODHAD VĚKU DOSPĚLÝCH JEDINCŮ

FACIES SYMPHYSIALIS

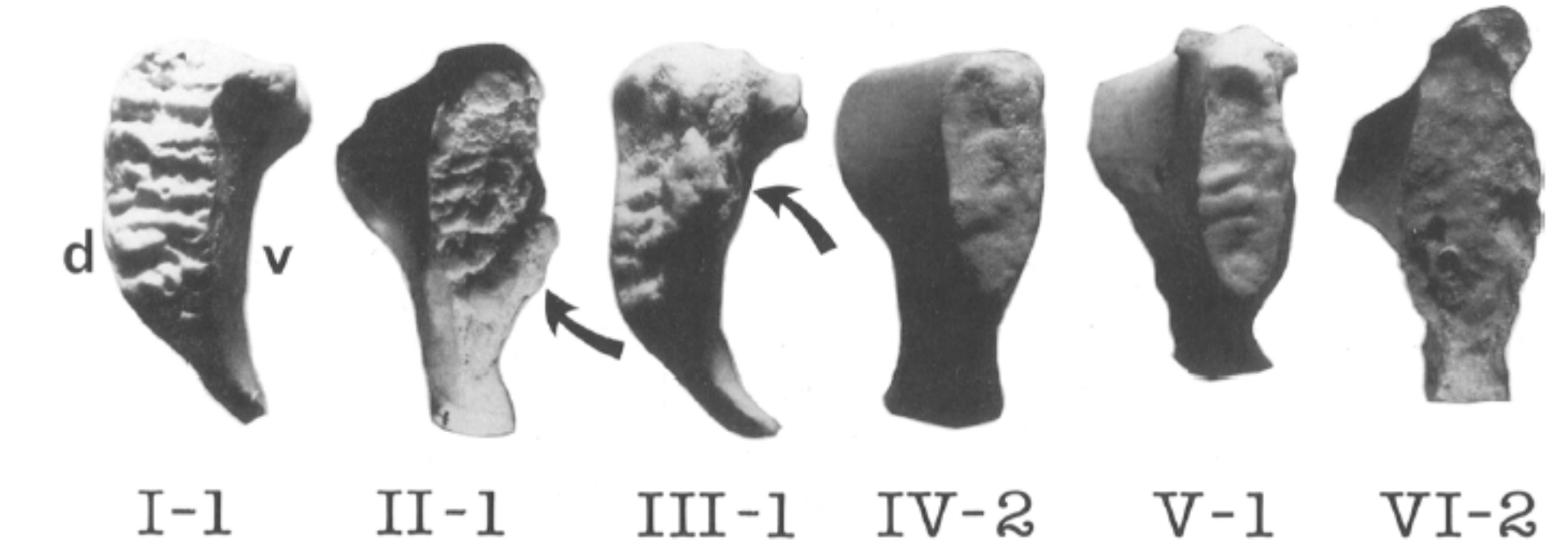
BROOKS, Sheilagh; SUCHEY, Judy M. Skeletal age determination based on the os pubis: a comparison of the Acsádi-Nemeskéri and Suchey-Brooks methods. *Human evolution*, 1990, 5.3: 227-238.

1225 JEDINCŮ (739 M, 273 Ž)
Office of the Chief Medical-Examiner, County of Los Angeles, USA



EVALUACE

Srbsko (Djuric, 2007)
Polsko (Bednarek, Bloh, Sliwka, 2002)
Bosna a Hercegovina (Sarajlic, 2012)
Austrálie (Lottering et al., 2013)



ODHAD VĚKU DOSPĚLÝCH JEDINCŮ

FACIES SYMPHYSIALIS

WINK, Alexandra E. Pubic symphyseal age estimation from three-dimensional reconstructions of pelvic CT scans of live individuals. *Journal of forensic sciences*, 2014, 59.3: 696-702.

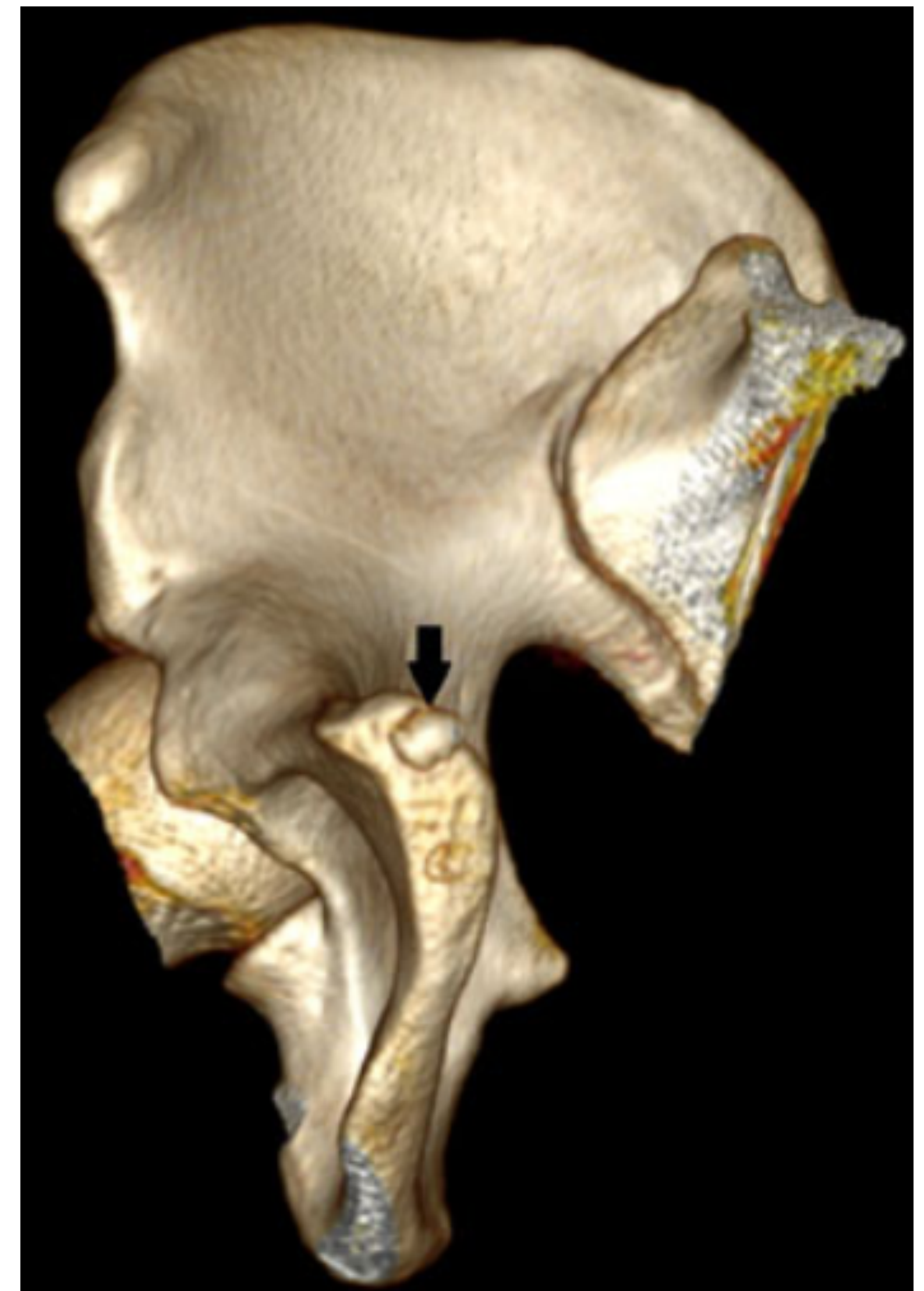
44 JEDINCŮ (20 M, 22 Ž)

Boston University Medical Center, Boston, USA

LOTTERING, Nicolene, et al. Evaluation of the Suchey-Brooks method of age estimation in an Australian subpopulation using computed tomography of the pubic symphyseal surface. *American journal of physical anthropology*, 2013, 150.3: 386-399.

195 JEDINCŮ (119 M, 76 Ž)

Queensland Health Forensic and Scientific Services - Forensic Pathology Mortuary, Coopers Plains, Queensland, Austrálie

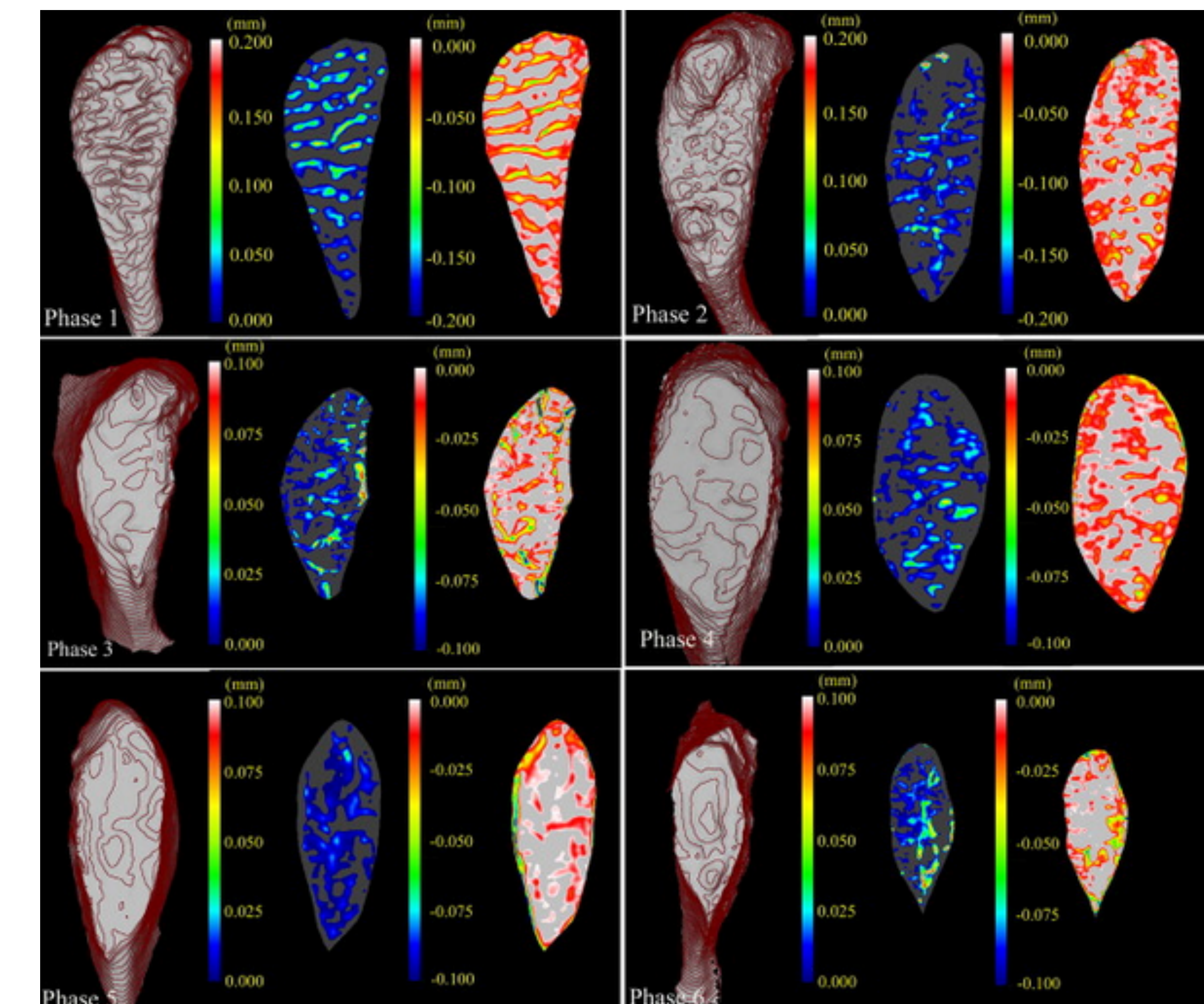
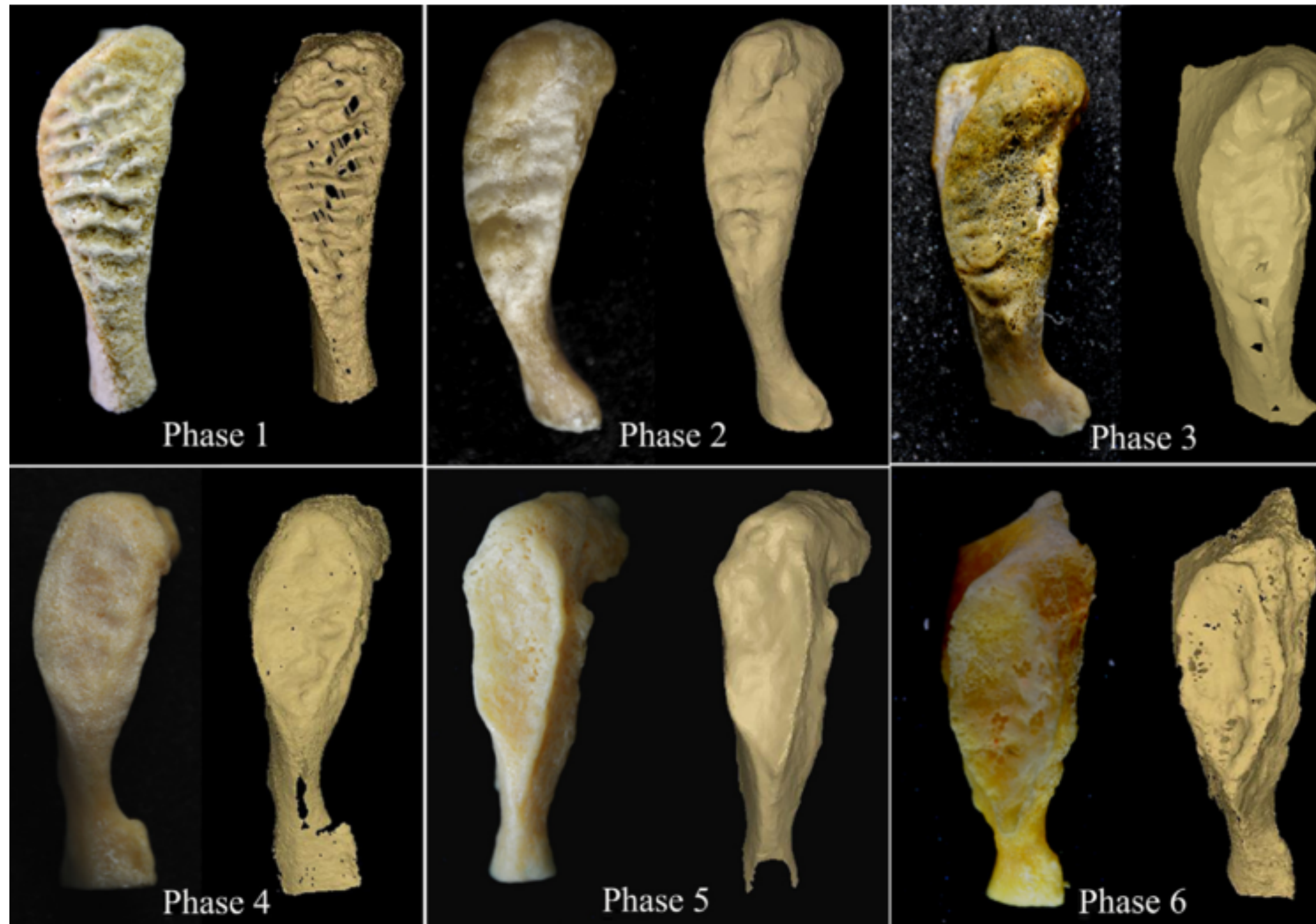


ODHAD VĚKU DOSPĚLÝCH JEDINCŮ

FACIES SYMPHYSIALIS

BIWASAKA, Hitoshi, et al. Three dimensional surface analyses of pubic symphyseal faces of contemporary Japanese reconstructed with 3D digitized scanner. Legal Medicine, 2013, 15.5: 264-268.

145 JEDINCŮ (90 M, 55 Ž), Japonsko

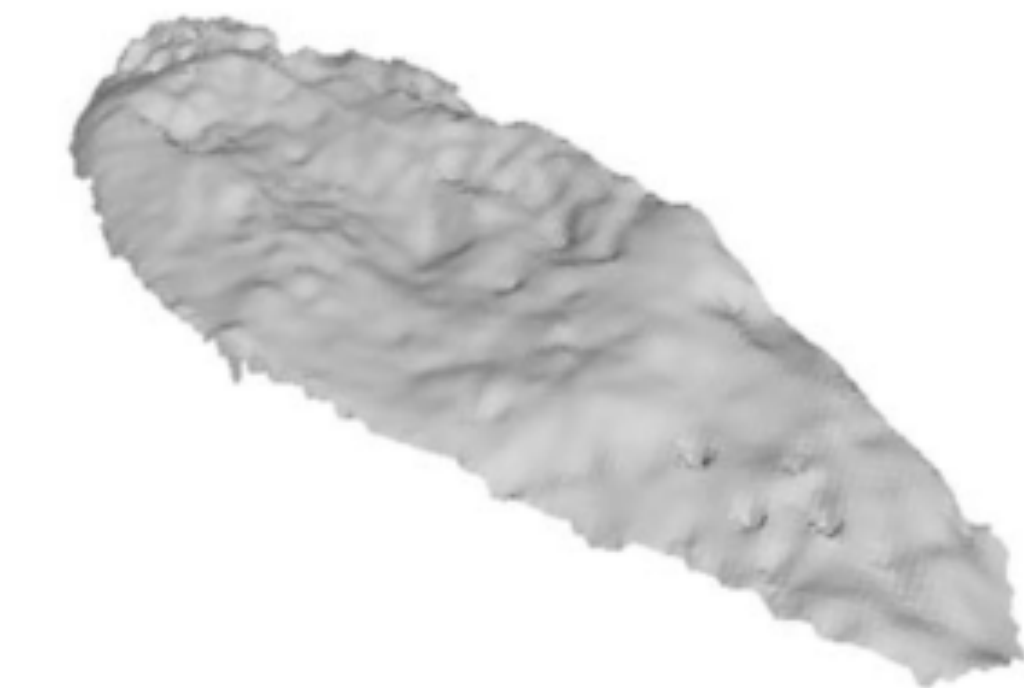
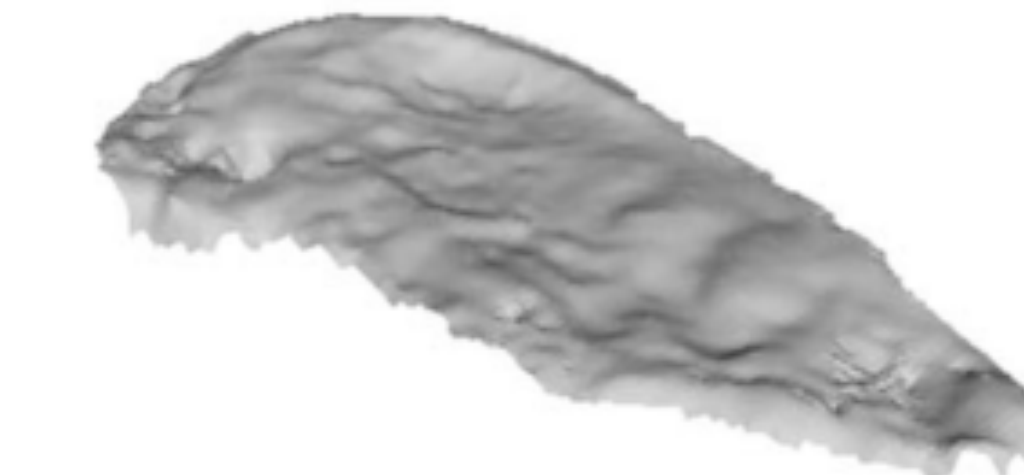
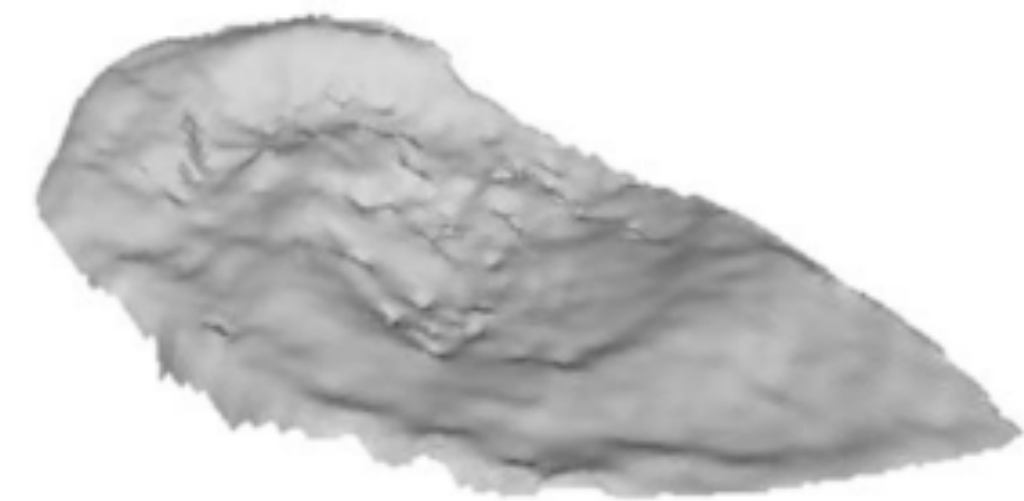
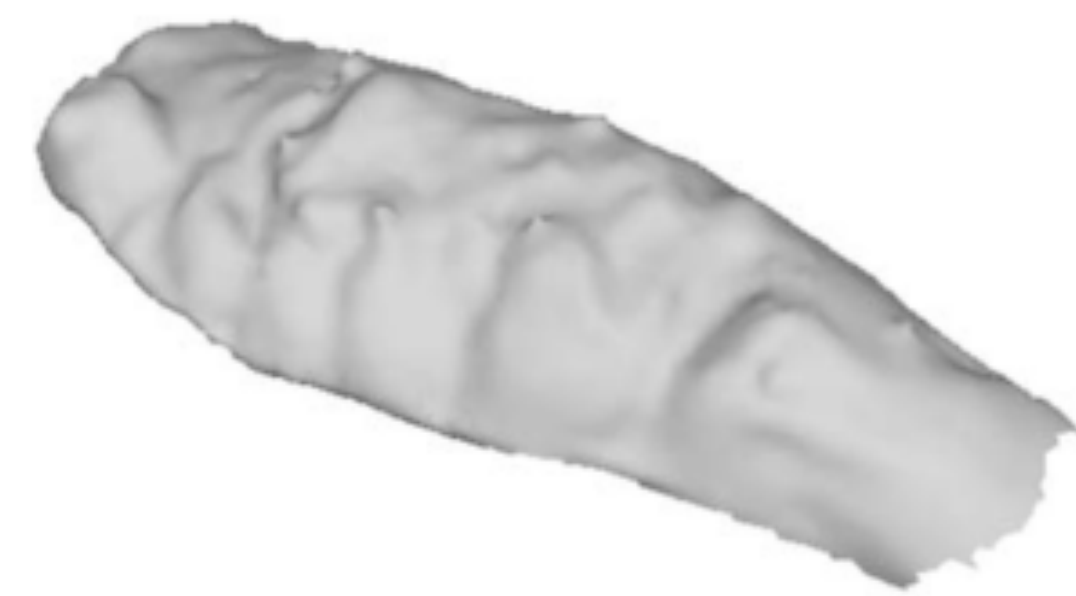


ODHAD VĚKU DOSPĚLÝCH JEDINCŮ

FACIES SYMPHYSIALIS

STOYANOVA, Detelina; ALGEE-HEWITT, Bridget FB; SLICE, Dennis E. An enhanced computational method for age-at-death estimation based on the pubic symphysis using 3D laser scans and thin plate splines. *American journal of physical anthropology*, 2015, 158.3: 431-440.

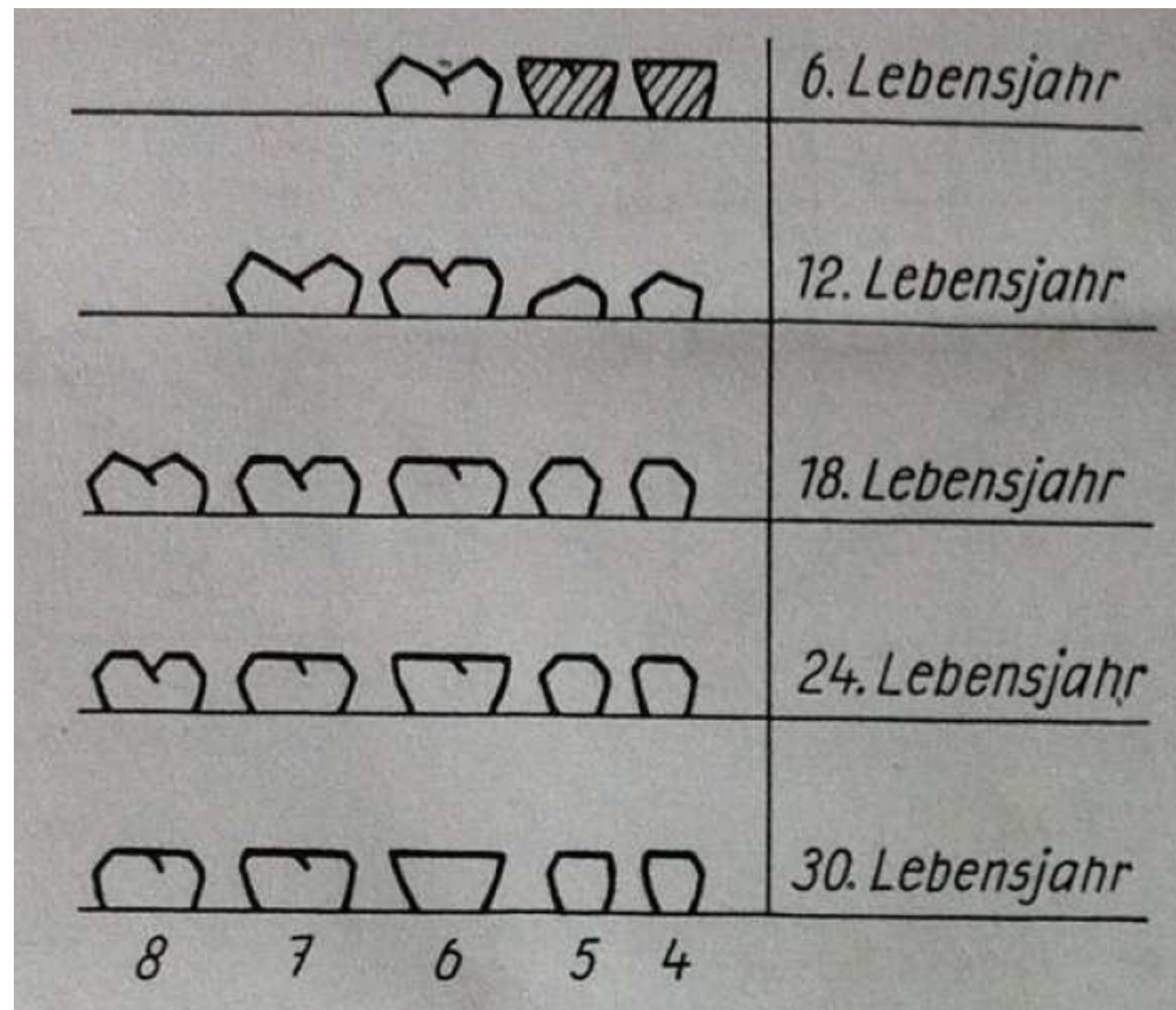
44 JEDINCŮ (M), W.M. Bass Skeletal Collection,
Forensic Anthropology Center at the University of
Tennessee, Knoxville, USA



ODHAD VĚKU DOSPĚLÝCH JEDINCŮ

ZUBNÍ OBRUS

ZUHRT, R. Stomatologische untersuchungen an spä tmittelalterlichen funden von Reckahn (12–14 jh). I. Die Zahnkaries und ihre Folgen. Dtsch Zahn Mund Kieferheilk, 1956, 25: 1-15.



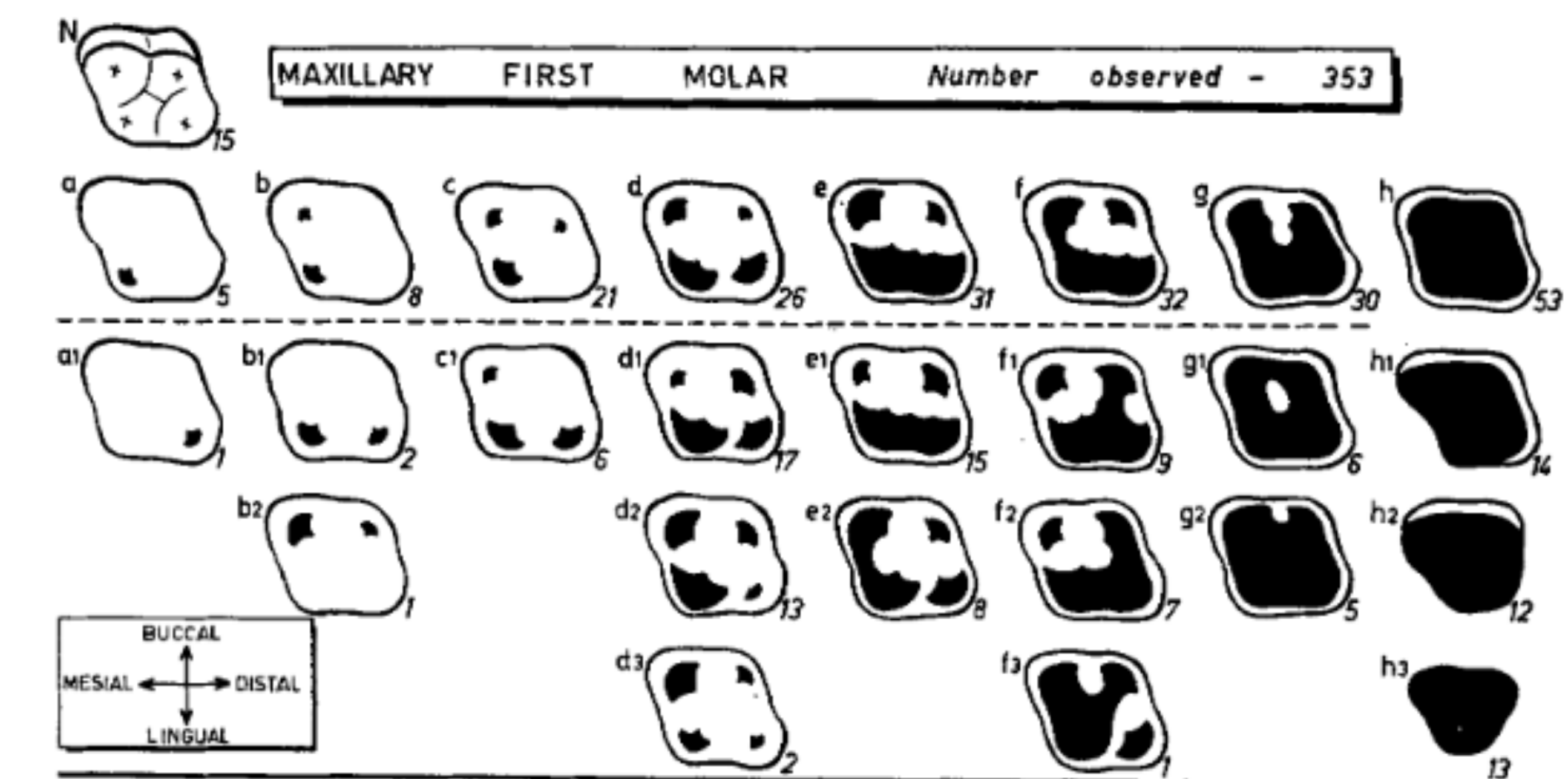
ODHAD VĚKU DOSPĚLÝCH JEDINCŮ

ZUBNÍ OBRUS

MURPHY, Thomas. The changing pattern of dentine exposure in human tooth attrition. American Journal of Physical Anthropology, 1959, 17.3: 167-178.

POČET JEDINCŮ ?

Australian aboriginal skulls, University of Adelaide &
South Australian Museum, Austrálie



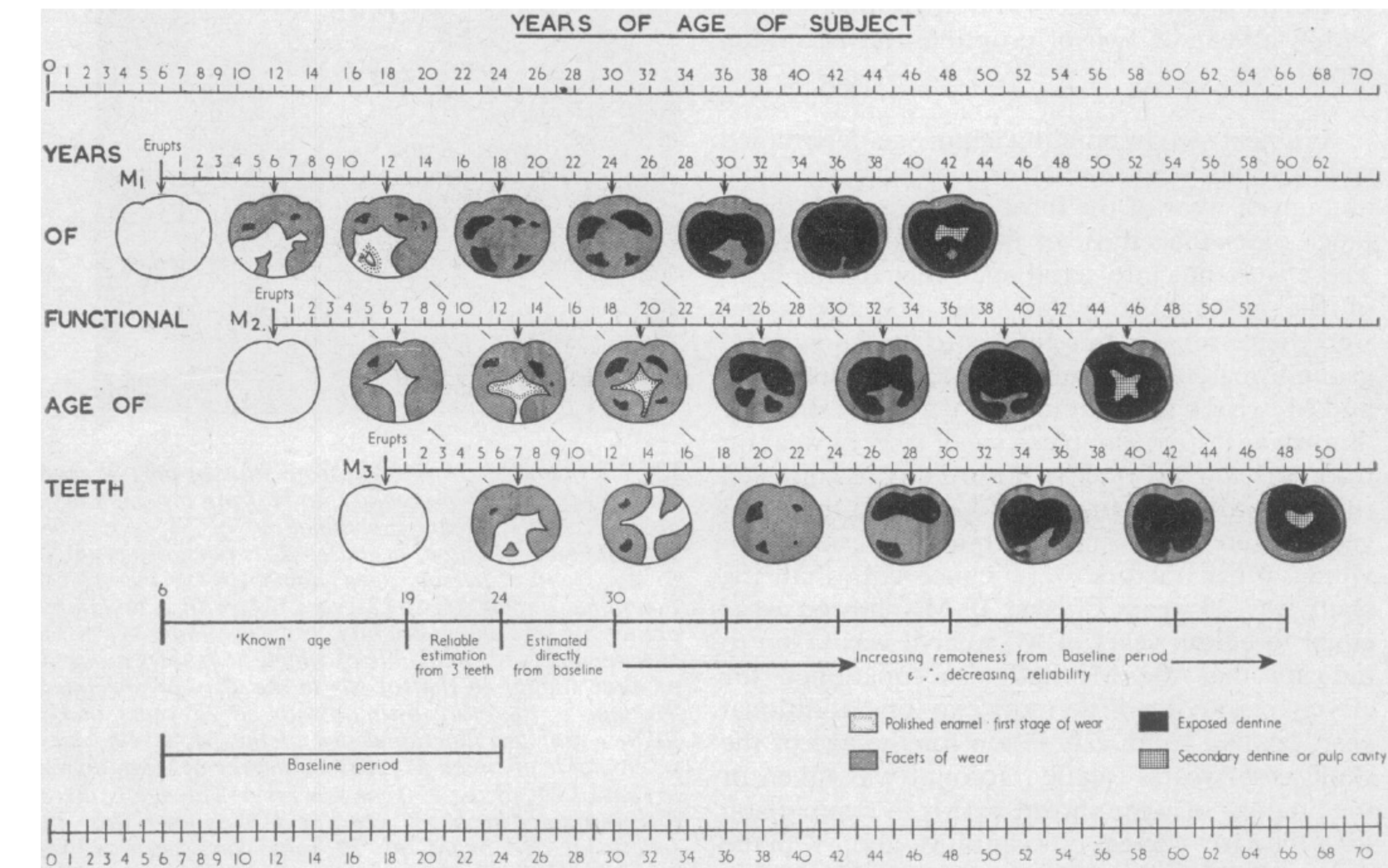
ODHAD VĚKU DOSPĚLÝCH JEDINCŮ

ZUBNÍ OBRUS

MILES, AEW1962. Assessment of the ages of a population of Anglo-Saxons from their dentitions. 1962.

190 JEDINCŮ

Anglo-Saxon historical population, Breedon-on-the-Hill in Leicestershire, deposit in British Museum of Natural History, London, UK



ODHAD VĚKU DOSPĚLÝCH JEDINCŮ

ZUBNÍ OBRUS

LOVEJOY, C. Owen. Dental wear in the Libben population: its functional pattern and role in the determination of adult skeletal age at death.
American journal of physical anthropology, 1985, 68.1: 47-56.

332 JEDINCŮ
Libben population, USA

HUNTER-GATHERER DIET

Schéma abraze zubů v horní čelisti

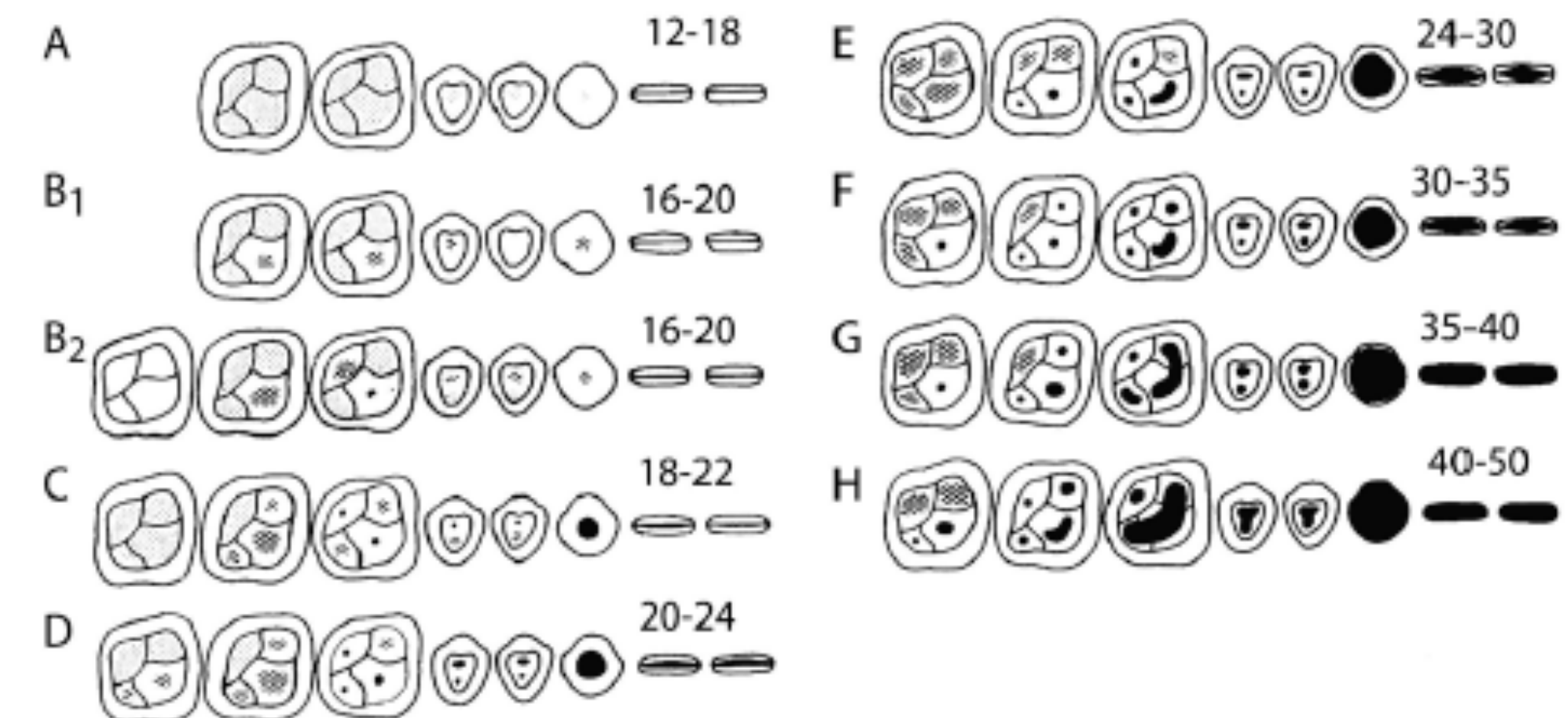
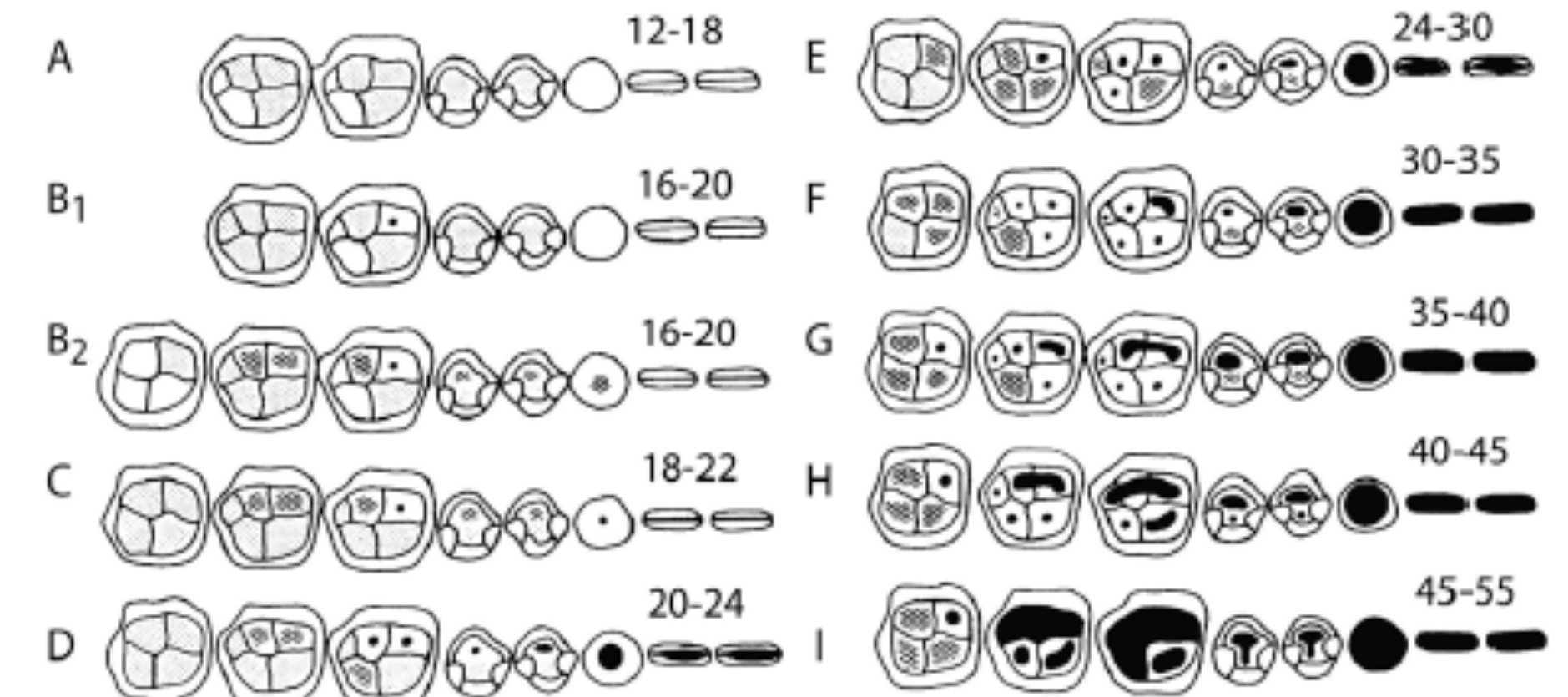


Schéma abraze zubů v dolní čelisti

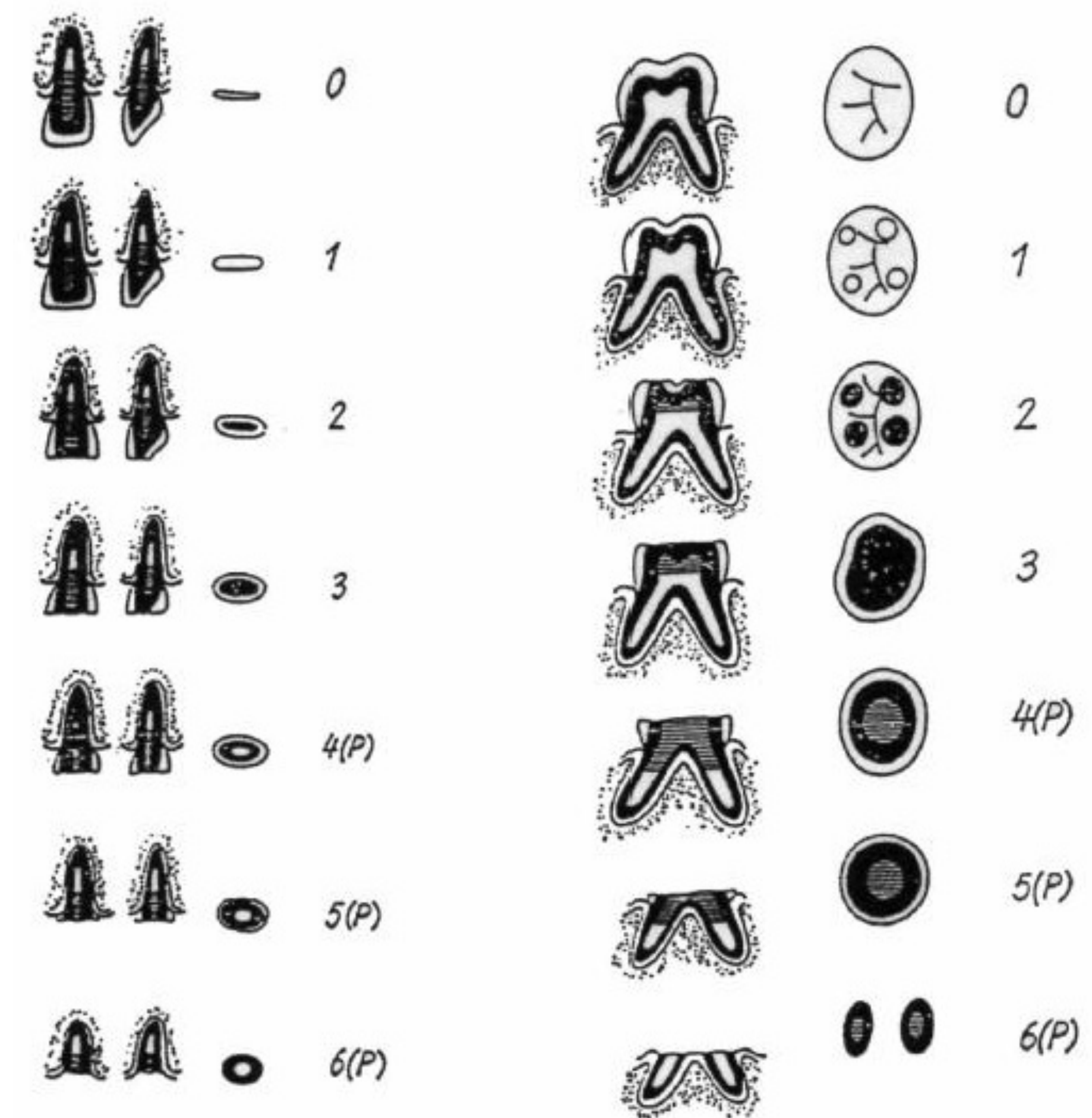


ODHAD VĚKU DOSPĚLÝCH JEDINCŮ

ZUBNÍ OBRUS

BILY, B. Dental abrasion and possibilities of its classification. Scripta medica, 1975, 48.3-4: 249-268.

POČET JEDINCŮ ?



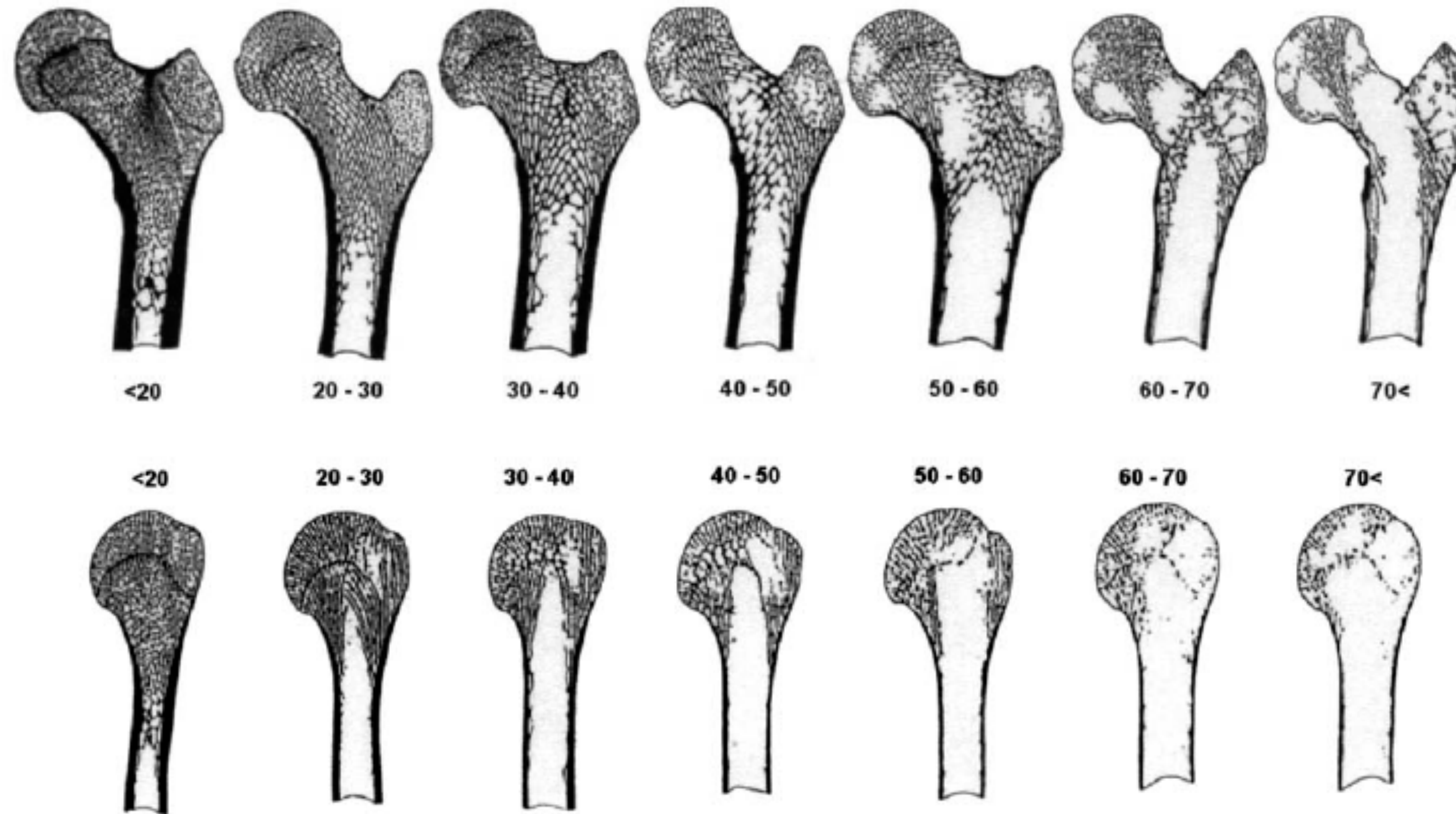
ODHAD VĚKU DOSPĚLÝCH JEDINCŮ

STRUKTURA SPONGIÓZY DLOUHÝCH KOSTÍ

SZILVASSY, J.; KRITSCHER, H. Estimation of chronological age in man based on the spongy structure of long bones. *Anthropologischer Anzeiger*, 1990, 289-298.

POČET JEDINCŮ ?

Institute of Forensic Medicine of the University of Vienna, Austria



ODHAD VĚKU DOSPĚLÝCH JEDINCŮ

FACIES AURICULARIS

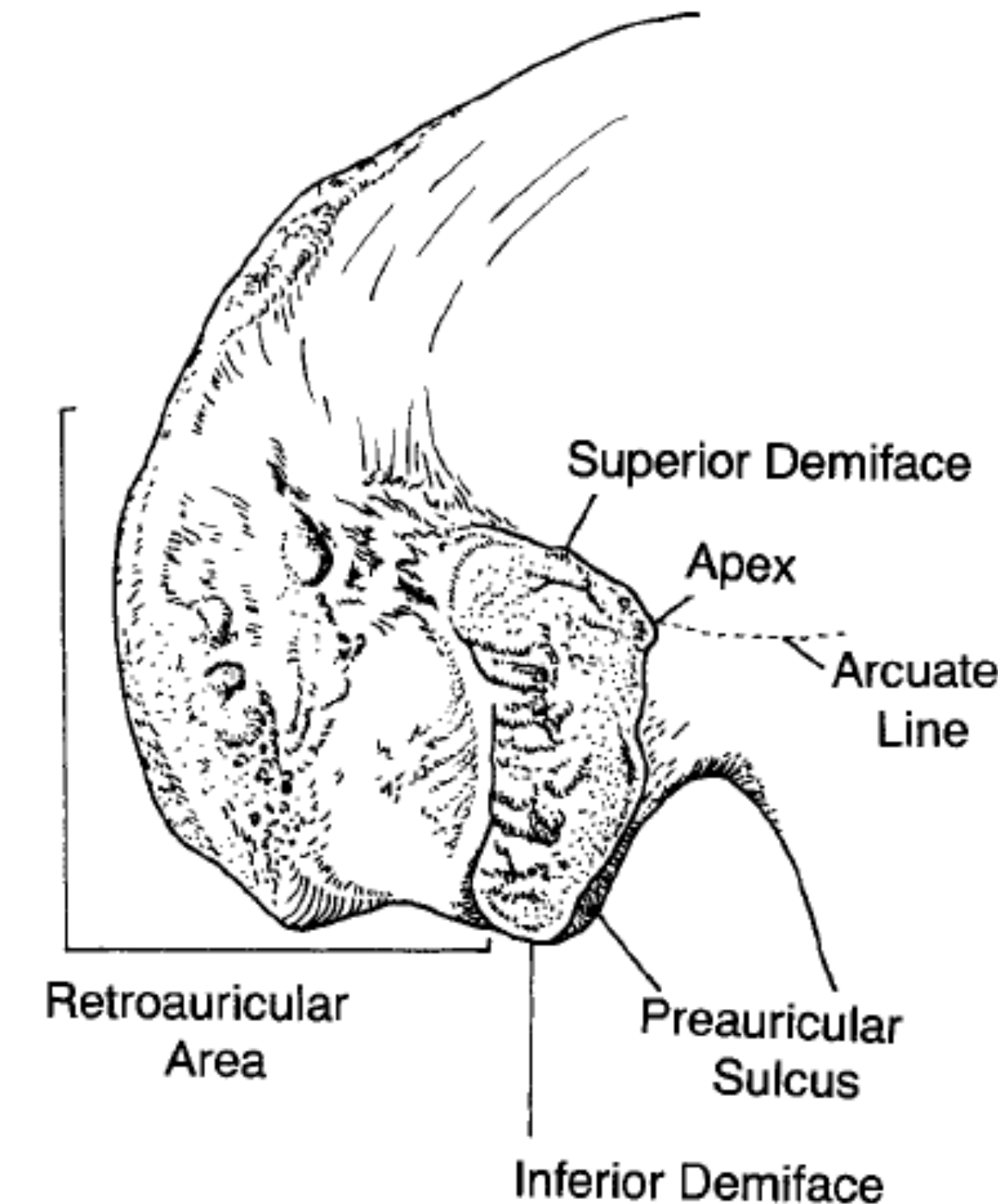
LOVEJOY, C. Owen, et al. Chronological metamorphosis of the auricular surface of the ilium: a new method for the determination of adult skeletal age at death. *American journal of physical anthropology*, 1985, 68.1: 15-28.

250 JEDINCŮ, Libben population
500 JEDINCŮ, Hamann-Todd collection

EVALUACE

BUCKBERRY, Jo L.; CHAMBERLAIN, Andrew T. Age estimation from the auricular surface of the ilium: a revised method. *American journal of physical anthropology*, 2002, 119.3: 231-239.

180 JEDINCŮ, Christ Church, Spitalfields, deposit in Natural History Museum, London, UK

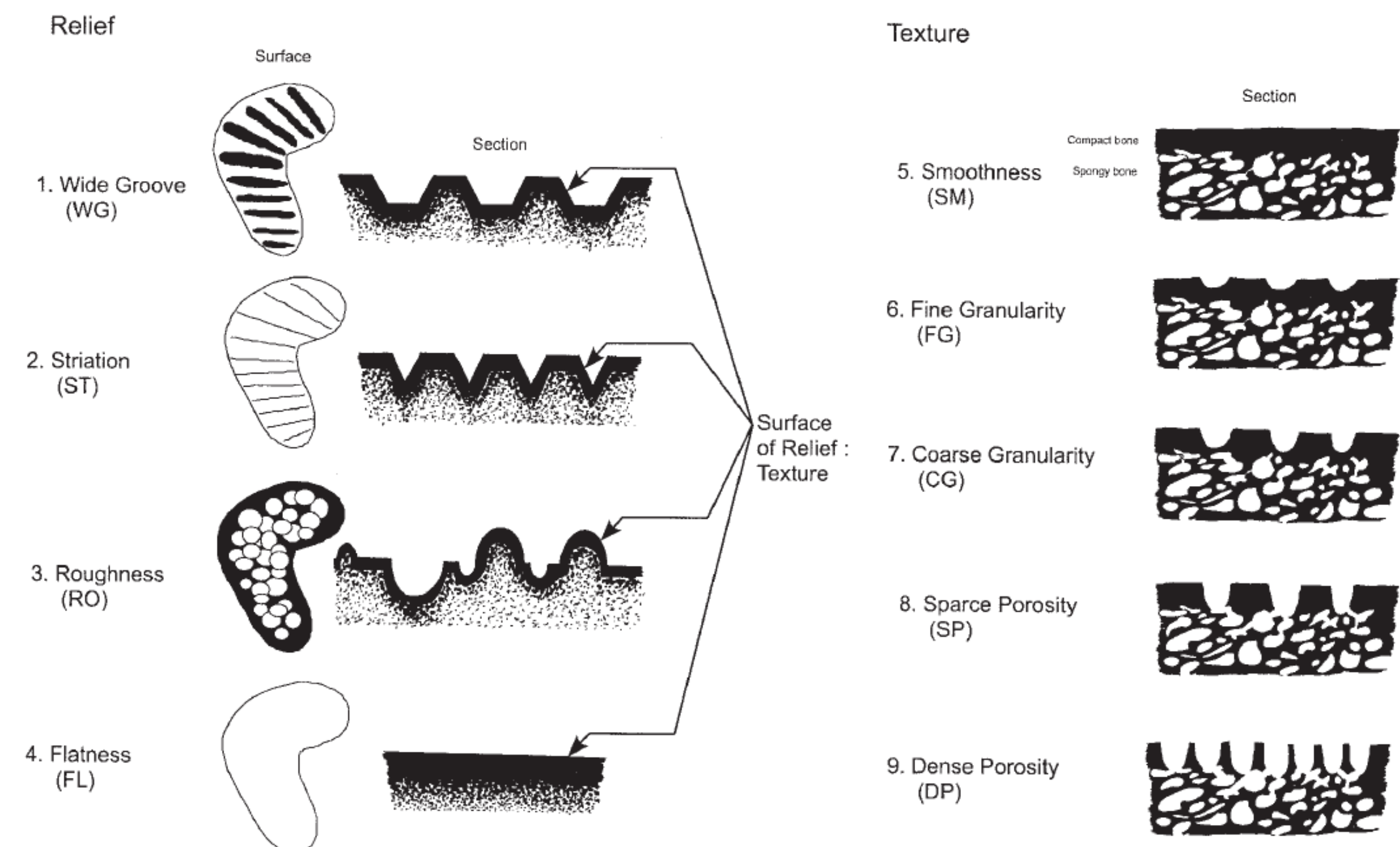


ODHAD VĚKU DOSPĚLÝCH JEDINCŮ

FACIES AURICULARIS

IGARASHI, Yuriko, et al. New method for estimation of adult skeletal age at death from the morphology of the auricular surface of the ilium. American Journal of Physical Anthropology, 2005, 128.2: 324-339.

700 JEDINCŮ (438 M, 262 Ž) Chiba University, the Jikei University School of Medicine, Kyushu University, Nagasaki University, Niigata University, and the University of Tokyo, Japonsko

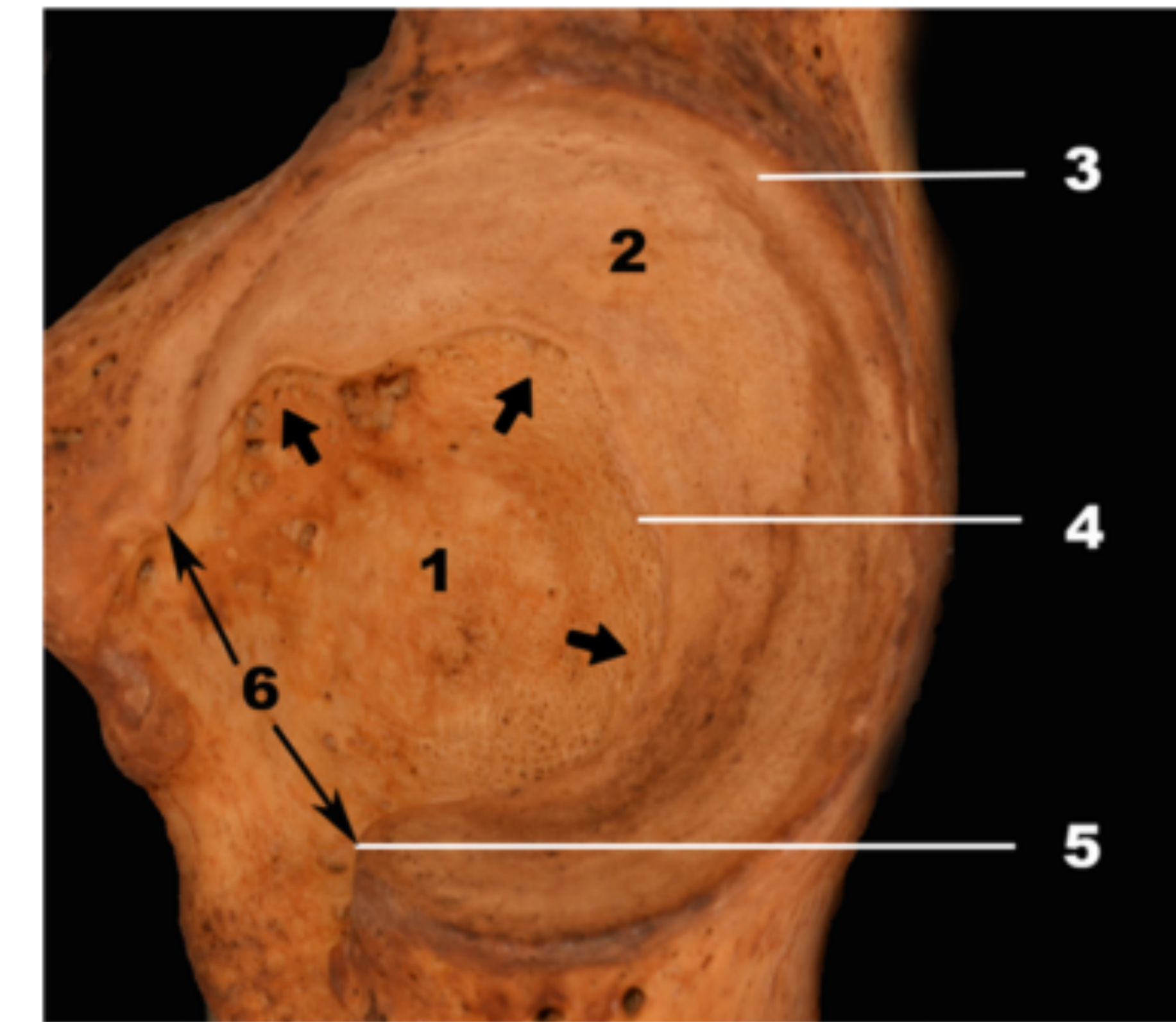


ODHAD VĚKU DOSPĚLÝCH JEDINCŮ

ACETABULUM

SAN-MILLÁN, Marta; RISSECH, Carme; TURBÓN, Daniel. New approach to age estimation of male and female adult skeletons based on the morphological characteristics of the acetabulum. International Journal of Legal Medicine, 2016, 1-25.

611 JEDINCŮ (294 M, 317 F)
Lisbon Collection, Portugal

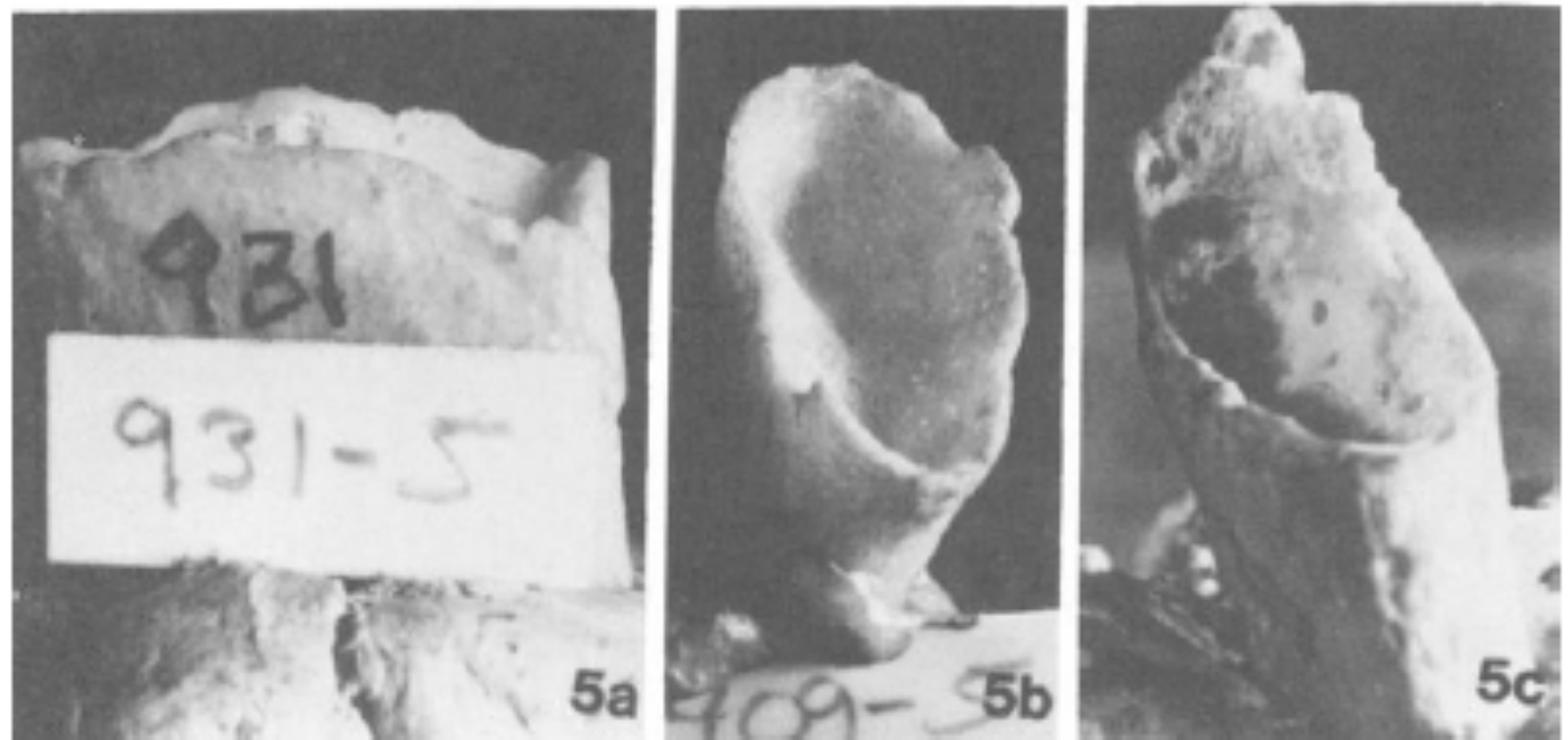
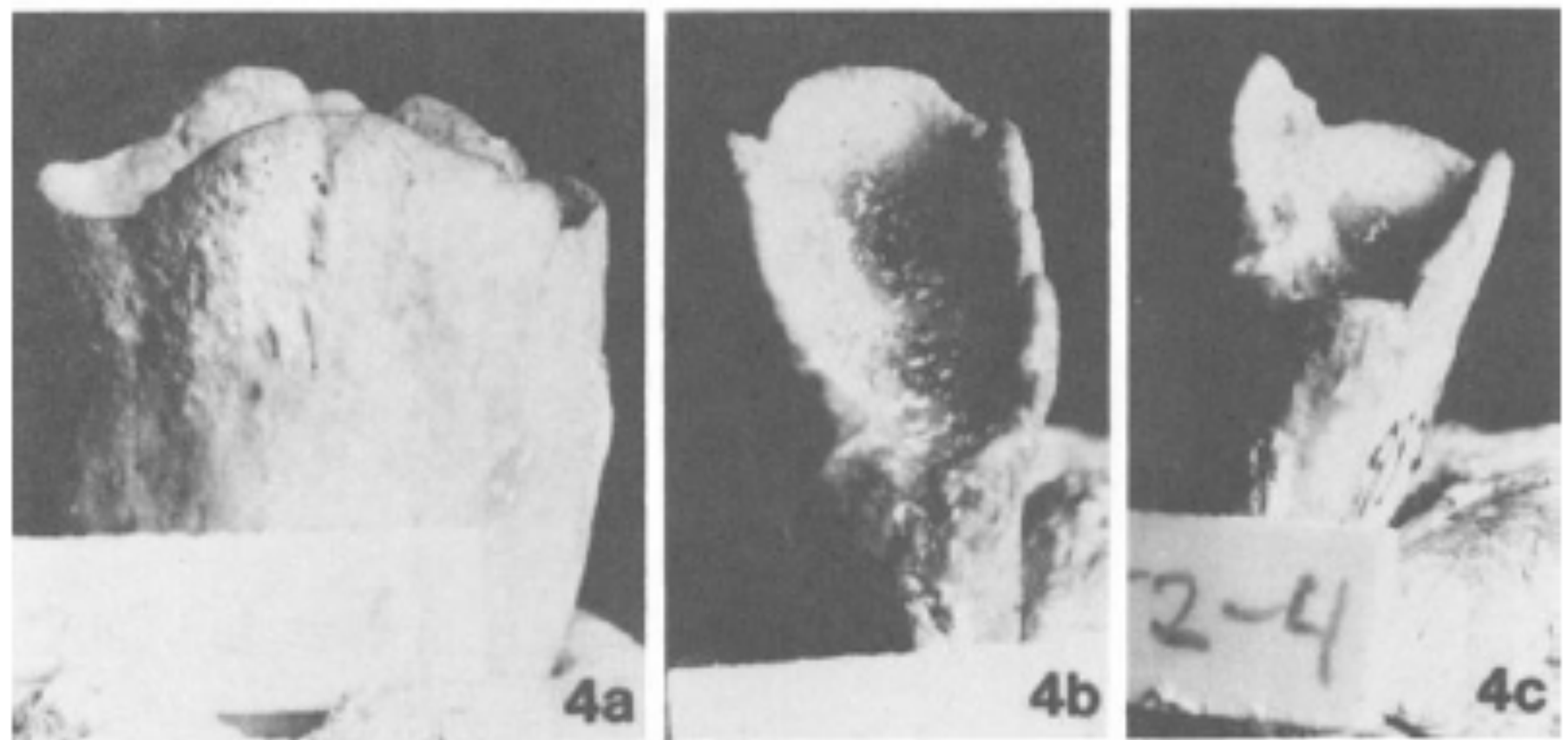
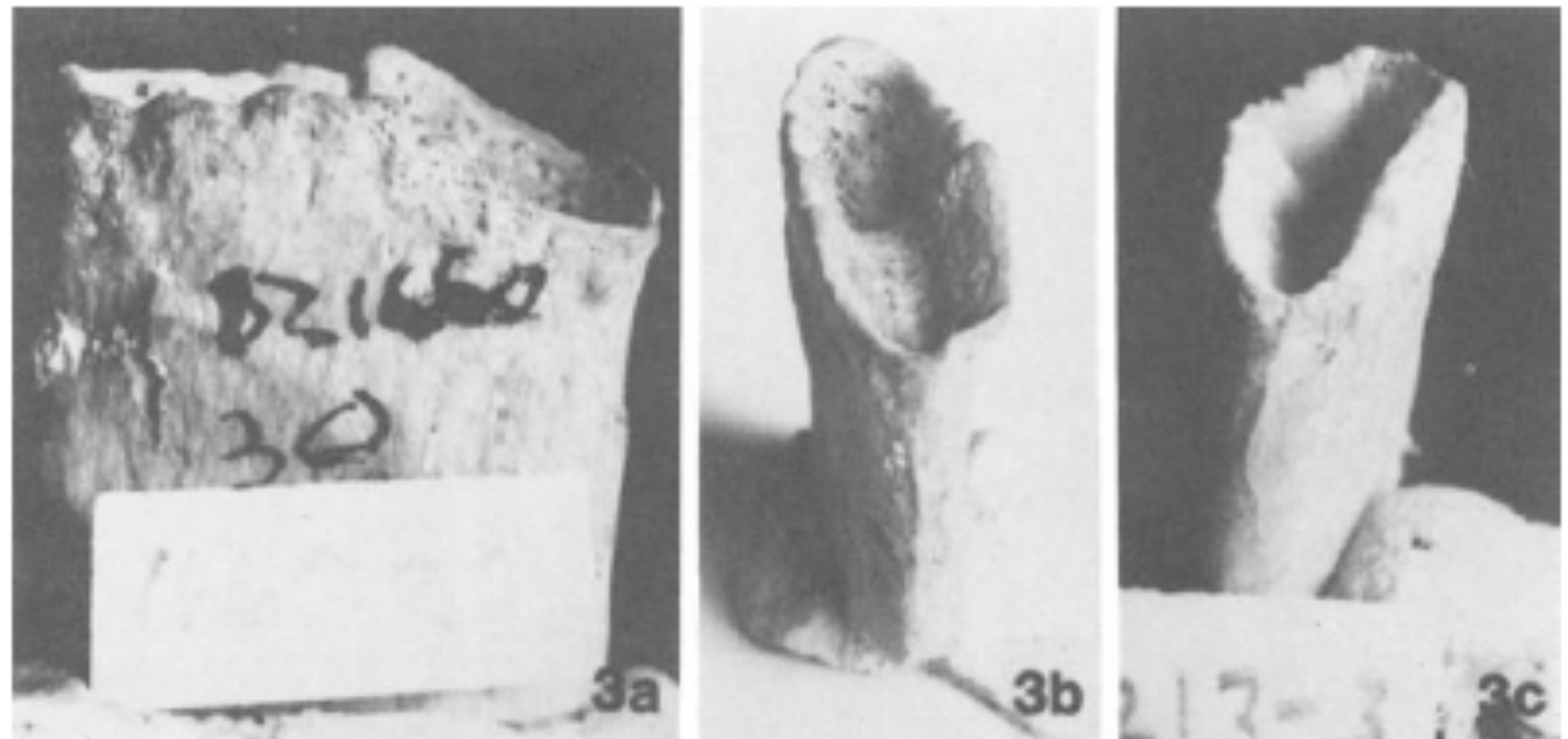


ODHAD VĚKU DOSPĚLÝCH JEDINCŮ ŽEBRA

İŞCAN, M. Yaşar; LOTH, Susan R.; WRIGHT, Ronald K. Age estimation from the rib by phase analysis: white males. *Journal of Forensic Science*, 1984, 29.4: 1094-1104.

118 JEDINCŮ (M)

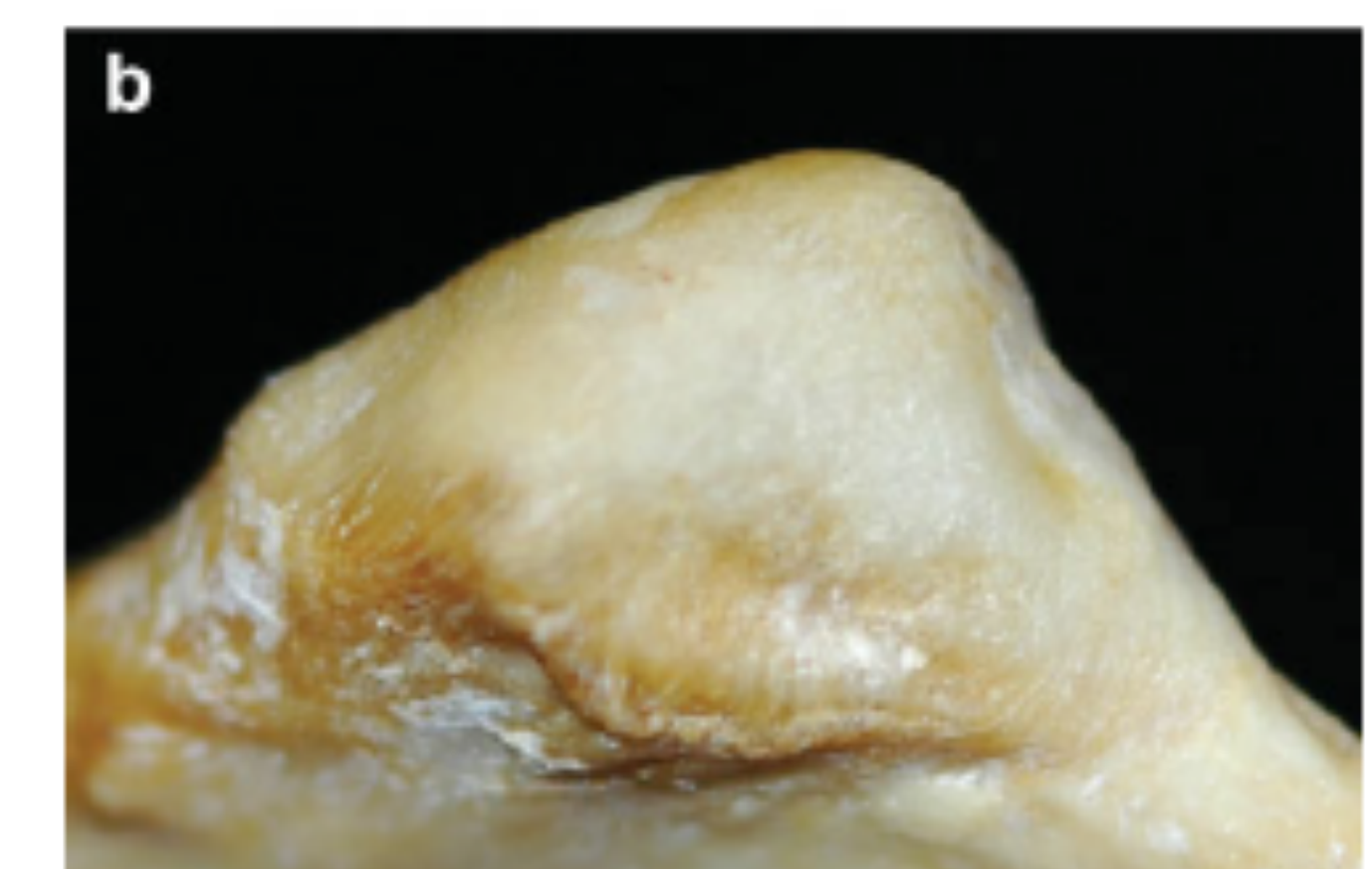
Broward County Medical Examiner's Office, Florida, USA



ODHAD VĚKU DOSPĚLÝCH JEDINCŮ ŽEBRA

DIGANGI, Elizabeth A., et al. A new method for estimating age-at-death from the first rib. American Journal of Physical Anthropology, 2009, 138.2: 164-176.

470 JEDINCŮ (M)
Balkan ancestry, Criminal Tribunal for the former Yugoslavia

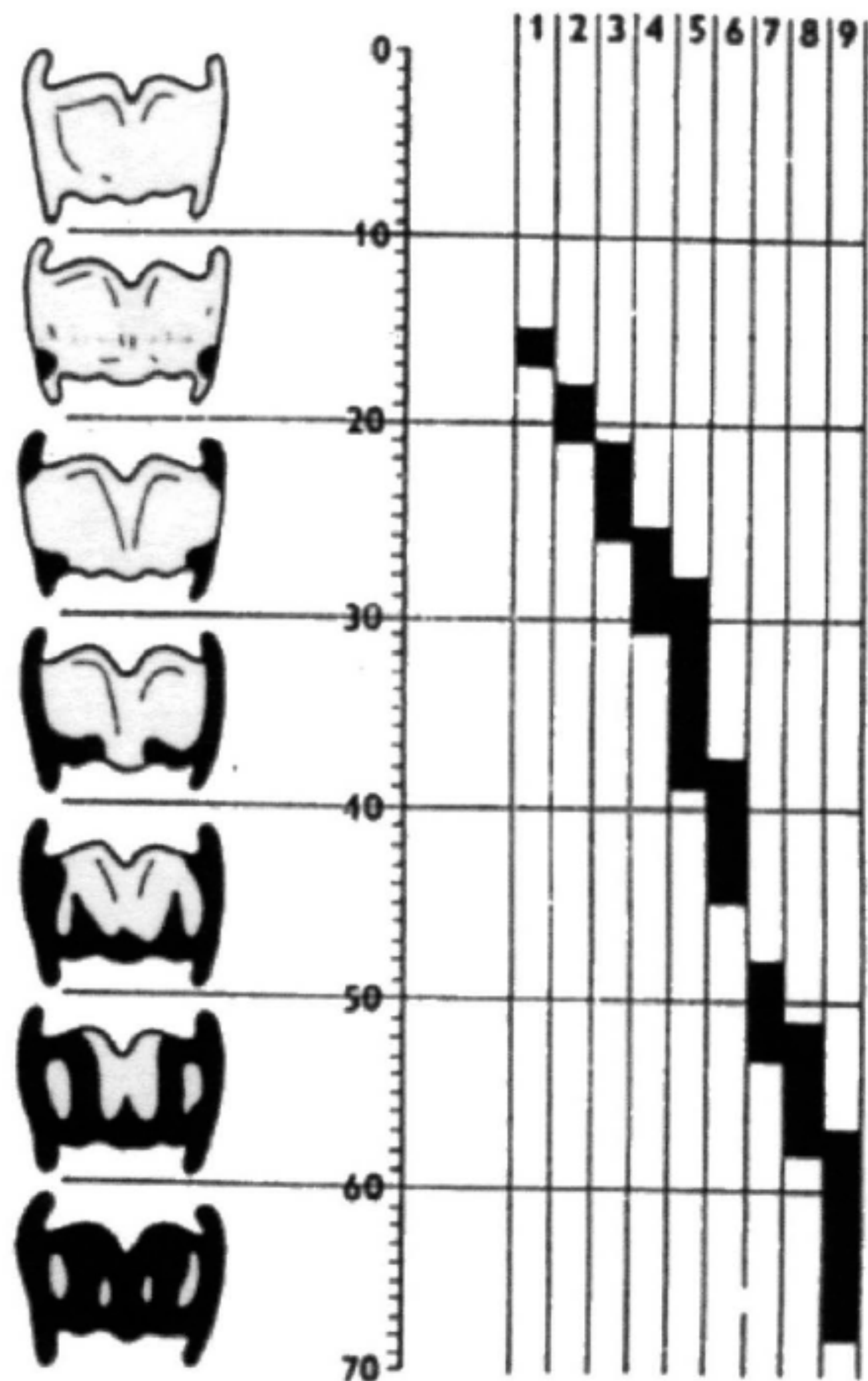


ODHAD VĚKU DOSPĚLÝCH JEDINCŮ

OSIFIKACE ŠTÍTNÉ CHRUPAVKY

VLCEK, E. Estimation of age from skeletal material based on the degree of thyroid cartilage ossification. Soudni lekarstvi, 1980, 25.1: 6-11.

POČET JEDINCŮ ?



ODHAD VĚKU DOSPĚLÝCH JEDINCŮ

KLÍČNÍ KOST

SZILVASSY, J. Estimation of age by the sternal articular surfaces of the clavicle. Beiträge zur gerichtlichen Medizin, 1977, 35: 343.

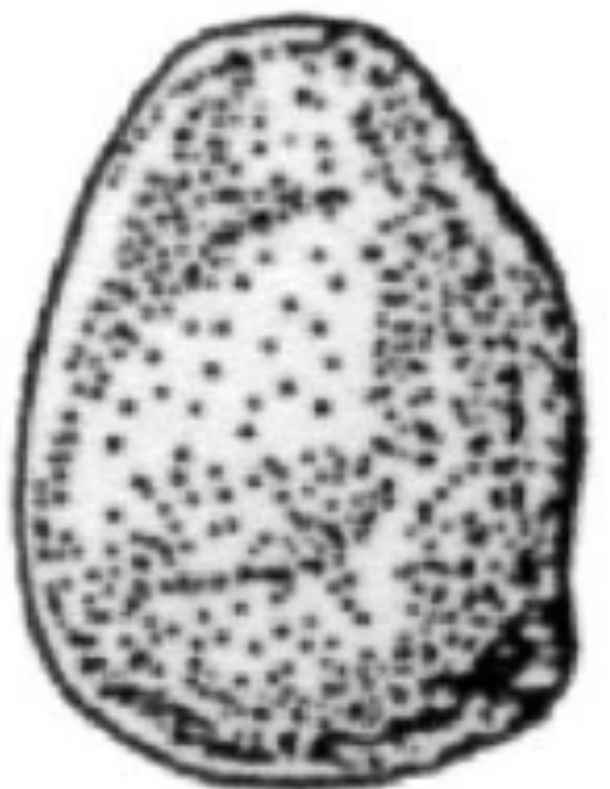
POČET JEDINCŮ ?



Stadium I
18 - 20 let



Stadium II
21 - 25 let

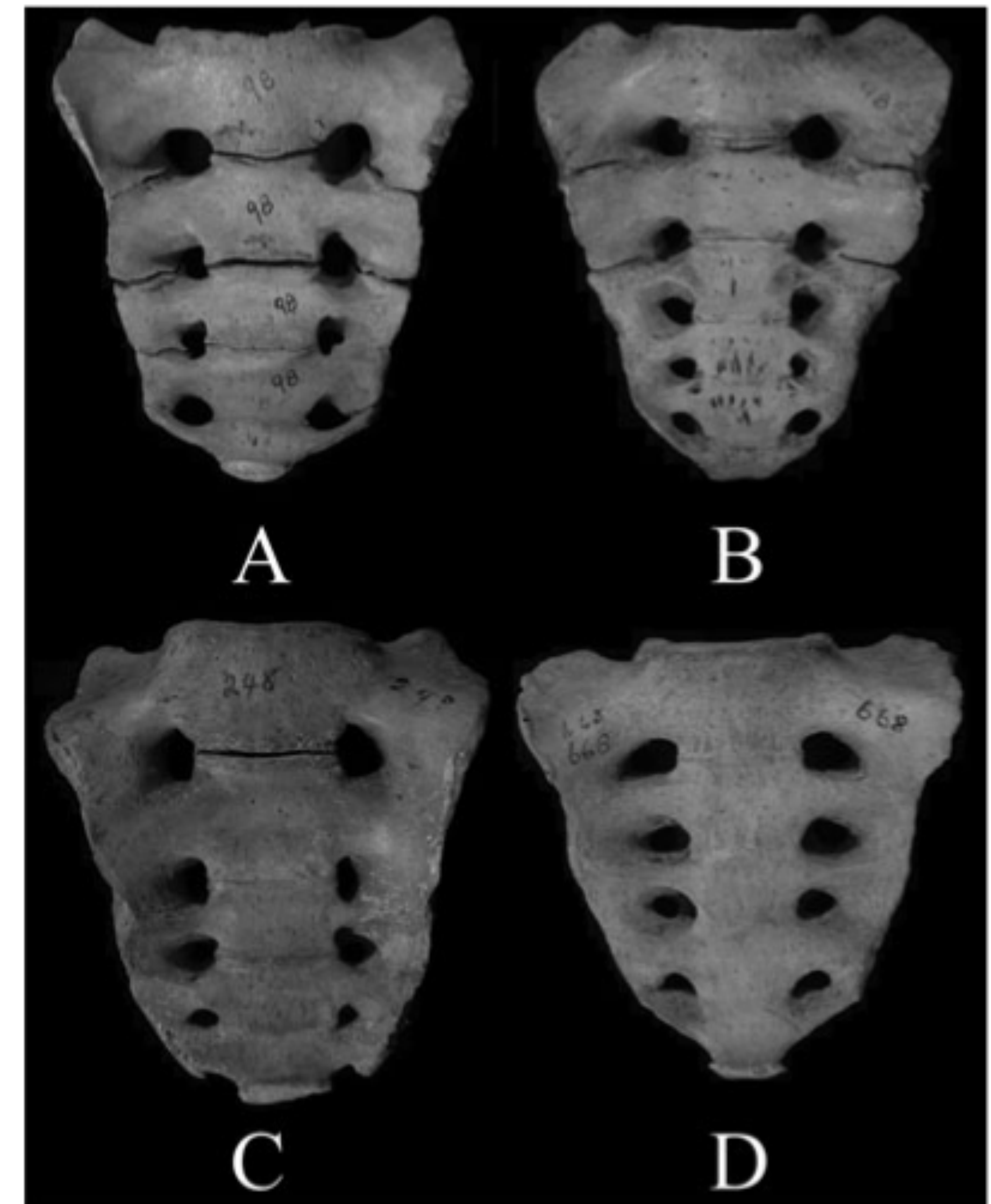
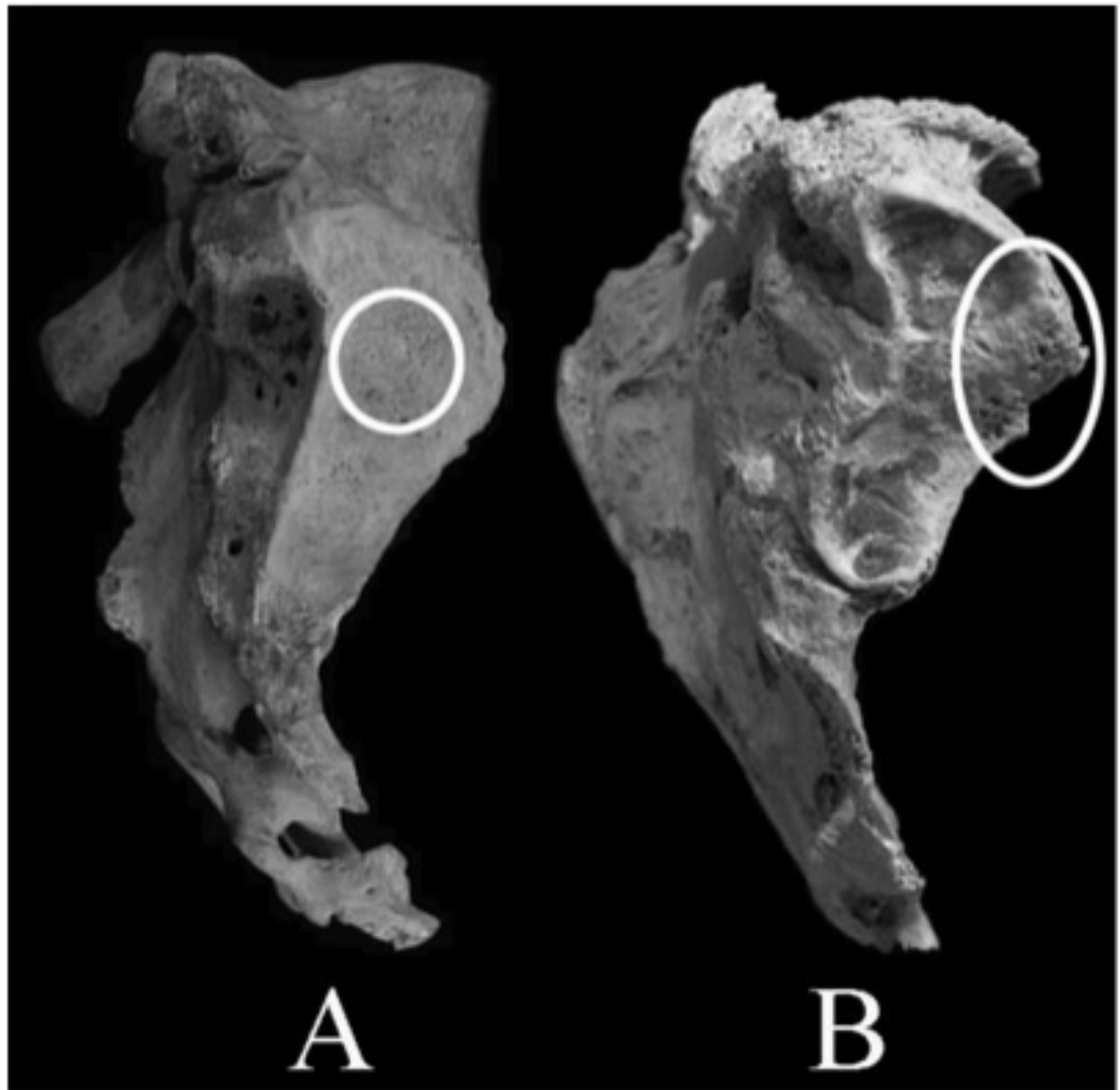


Stadium III
26 - 30 let

ODHAD VĚKU DOSPĚLÝCH JEDINCŮ KŘÍŽOVÁ KOST

PASSALACQUA, Nicholas V. Forensic Age-at-Death Estimation from the Human Sacrum. *Journal of forensic sciences*, 2009, 54.2: 255-262.

384 JEDINCŮ, Hamman-Todd collection
249 JEDINCŮ, WM Bass collection

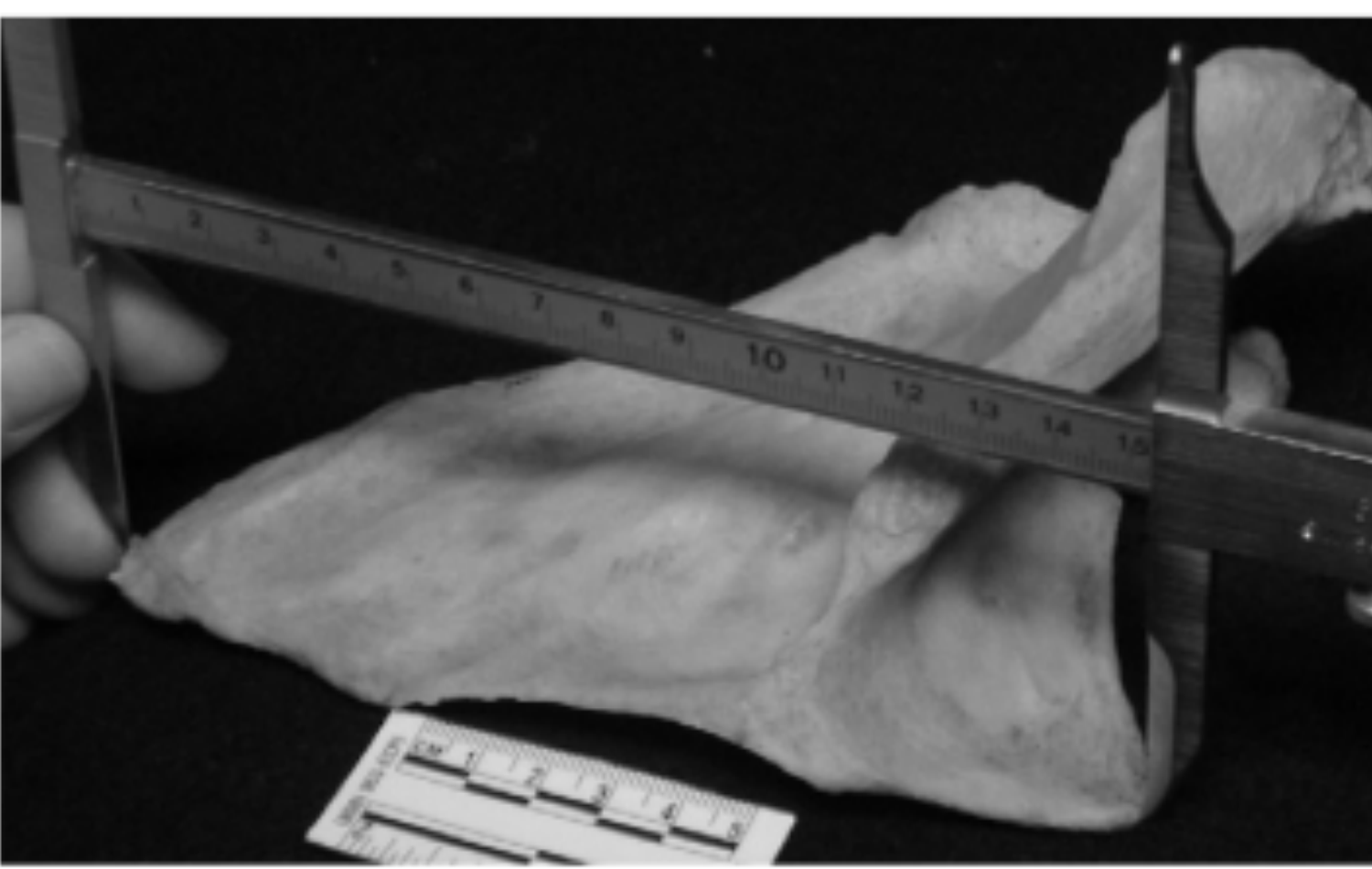


ODHAD VĚKU DOSPĚLÝCH JEDINCŮ

LOPATKA

DABBS, G.; MOORE-JANSEN, P. Age change in the adult human scapula.
HOMO-Journal of Comparative Human Biology, 2012, 63.5: 368-384.

804 JEDINCŮ, (169 Black Females, 194 Black Males, 139 White Females, 302 White Males), Hamman-Todd collection



ODHAD VĚKU DOSPĚLÝCH JEDINCŮ

PULP/TOOTH AREA RATIO

CAMERIERE, Roberto; FERRANTE, Luigi; CINGOLANI, Mariano. Variations in pulp/tooth area ratio as an indicator of age: a preliminary study. Journal of Forensic Science, 2004, 49.2: 1-3.

100 JEDINCŮ, (46 M, 54 Ž), ITALIAN PATIENTS

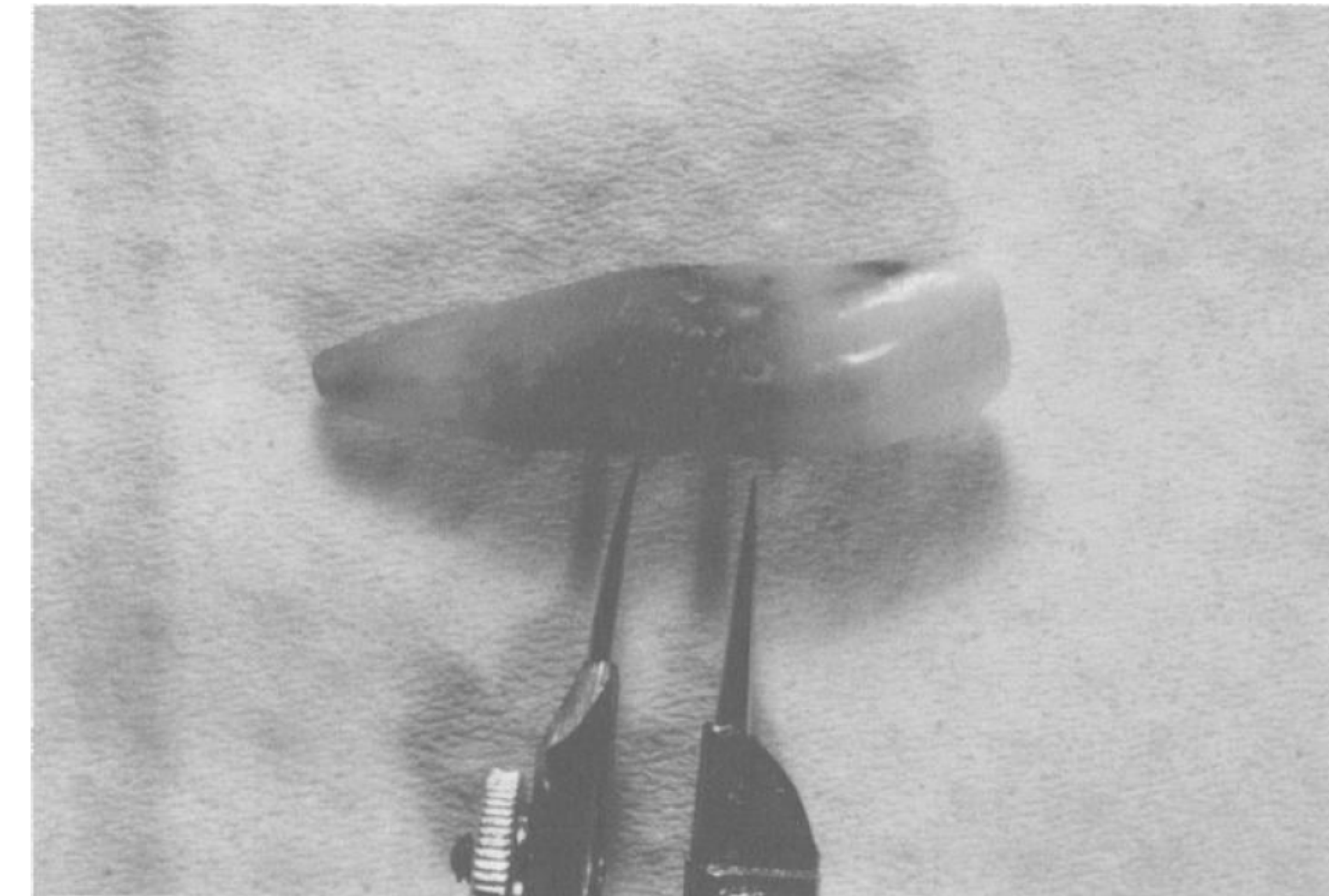
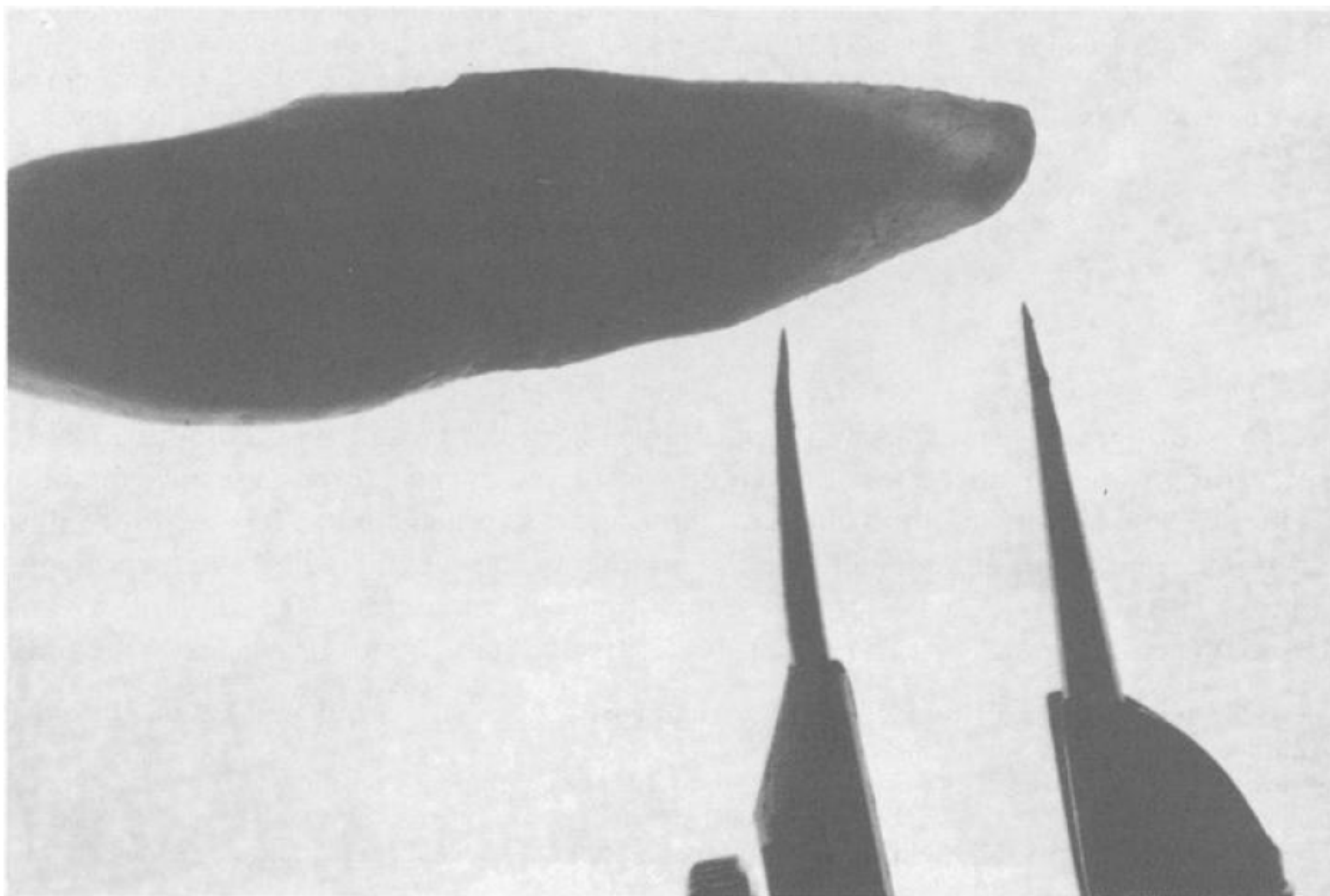


ODHAD VĚKU DOSPĚLÝCH JEDINCŮ

PERIODONTOSIS HEIGHT, ROOT HEIGHT & ROOT TRANSPARENCY

LAMENDIN, H., et al. A simple technique for age estimation in adult corpses: the two criteria dental method. *Journal of Forensic Science*, 1992, 37.5: 1373-1379.

208 JEDINCŮ, (135 M, 73 Ž)

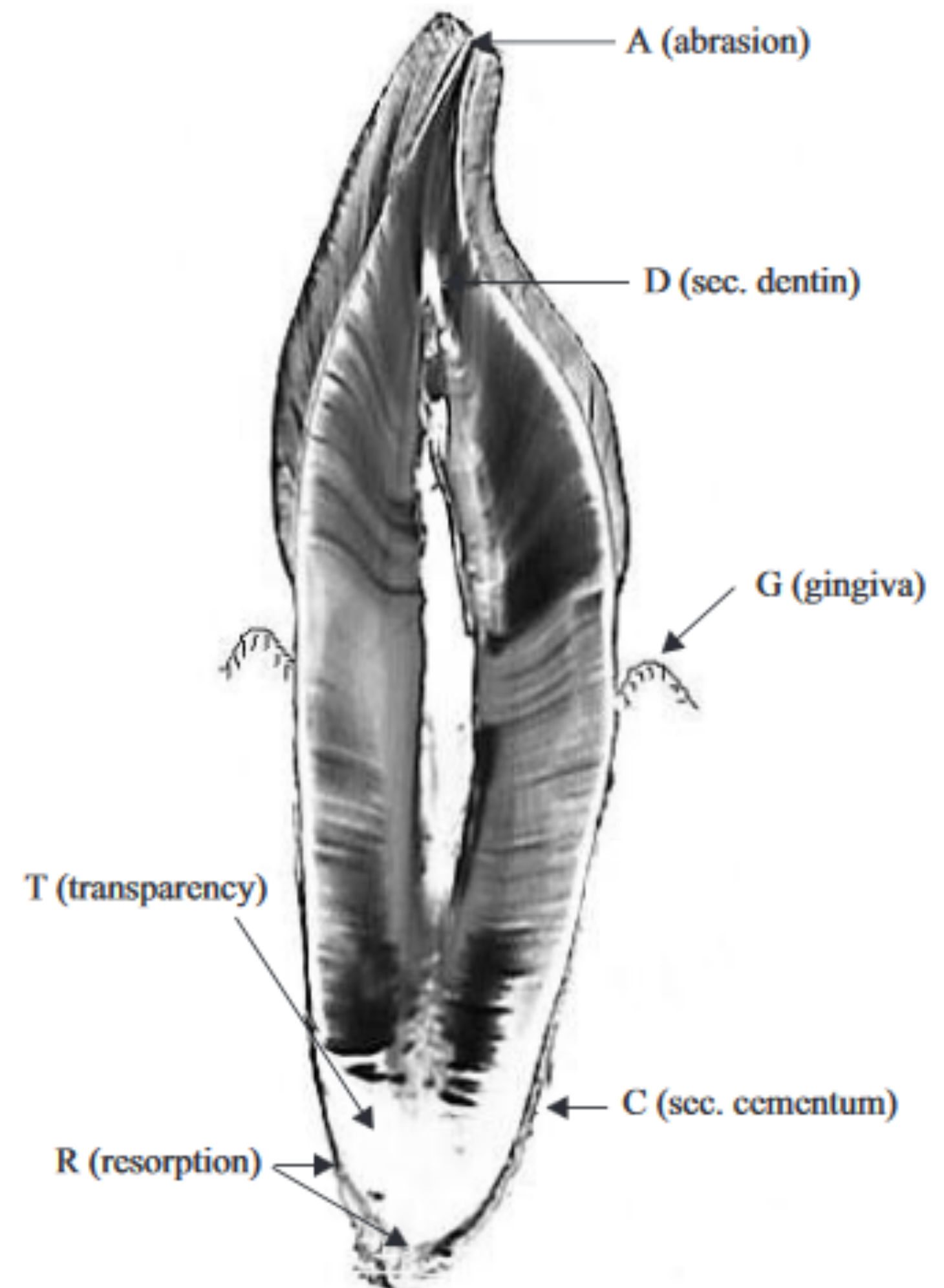


ODHAD VĚKU DOSPĚLÝCH JEDINCŮ

HISTOLOGIE ZUBU

VYSTRČILOVÁ, Michaela; NOVOTNÝ, Vladimír. Estimation of age at death using teeth. Variability and Evolution, 2000, 8: 39-49.

63 JEDINCŮ, (31 M, 32 Ž)



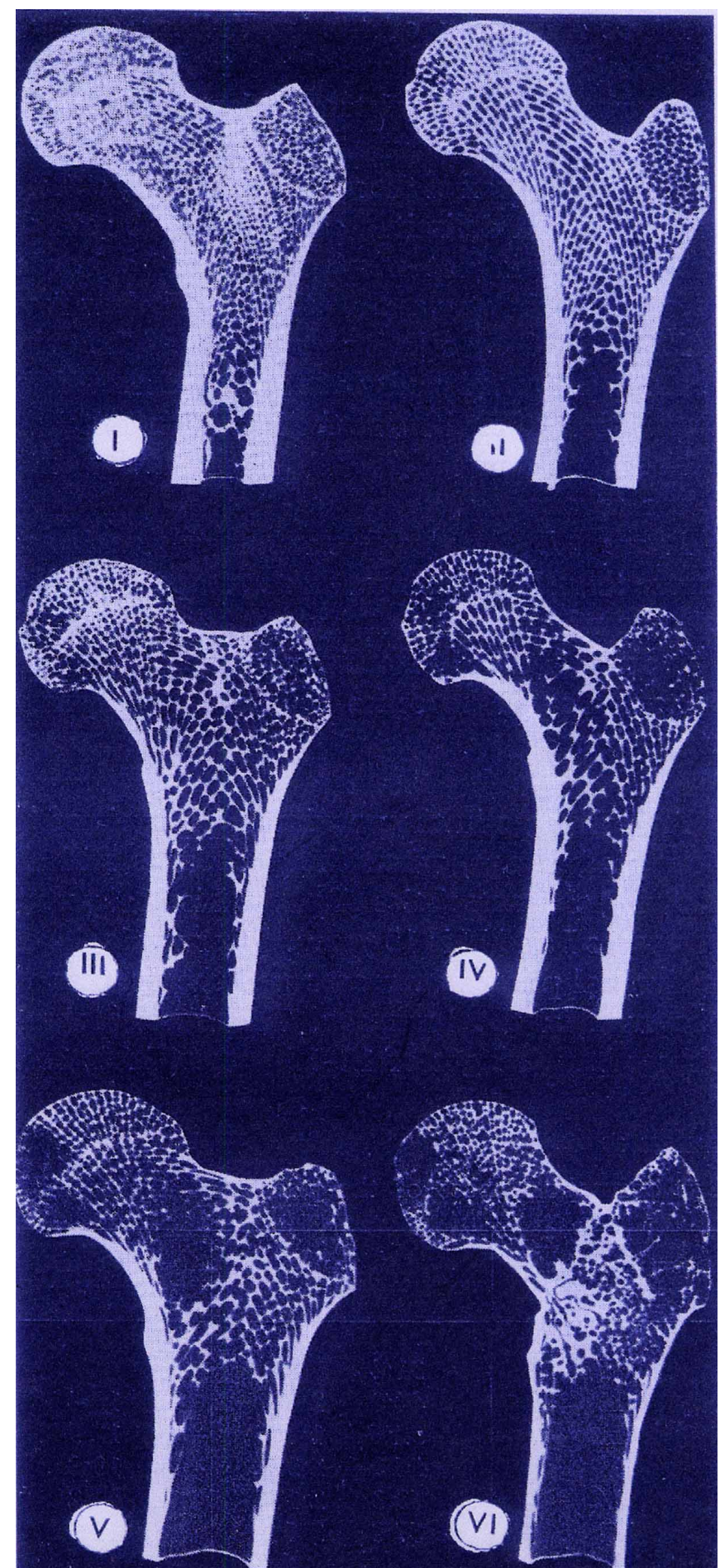
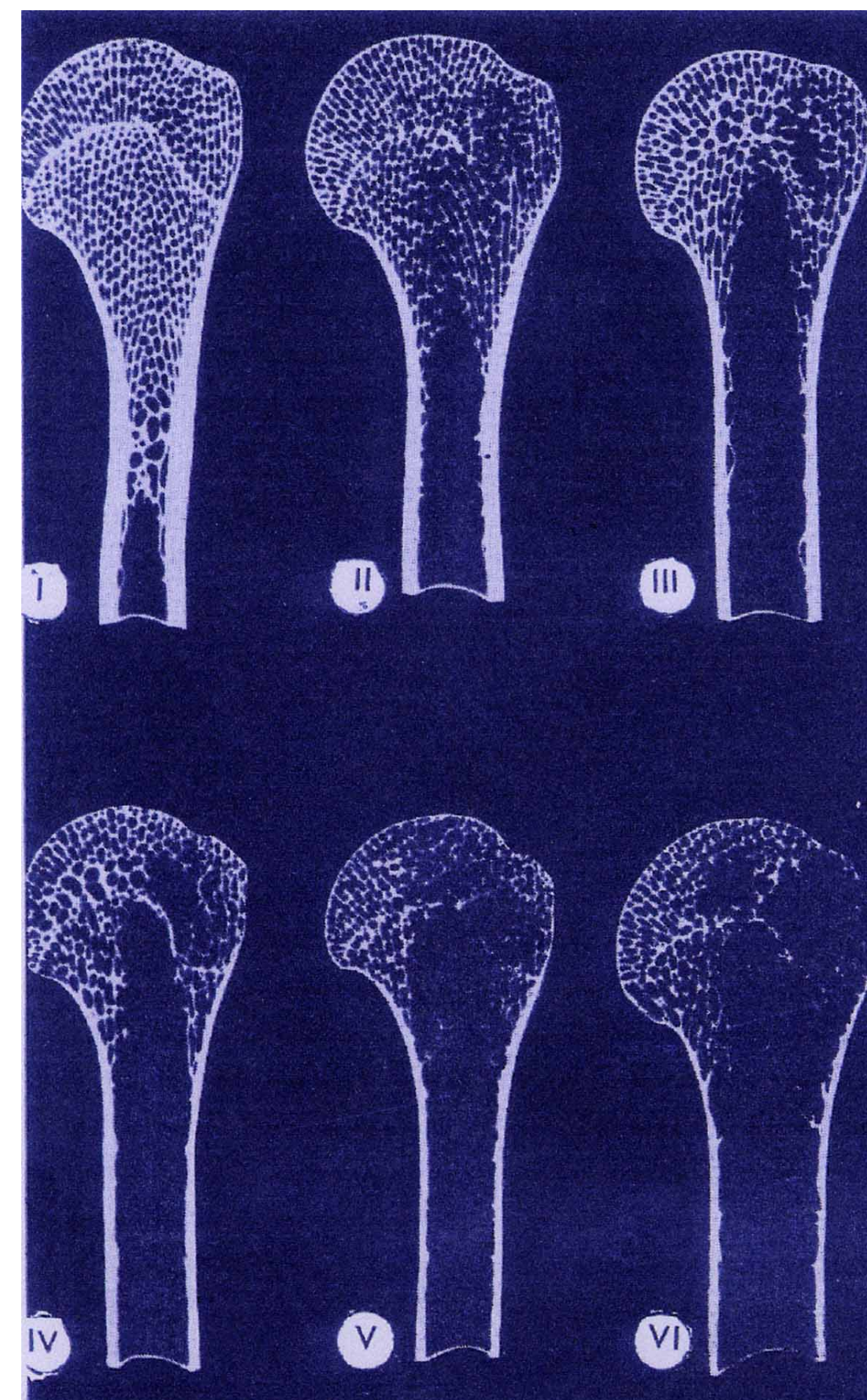
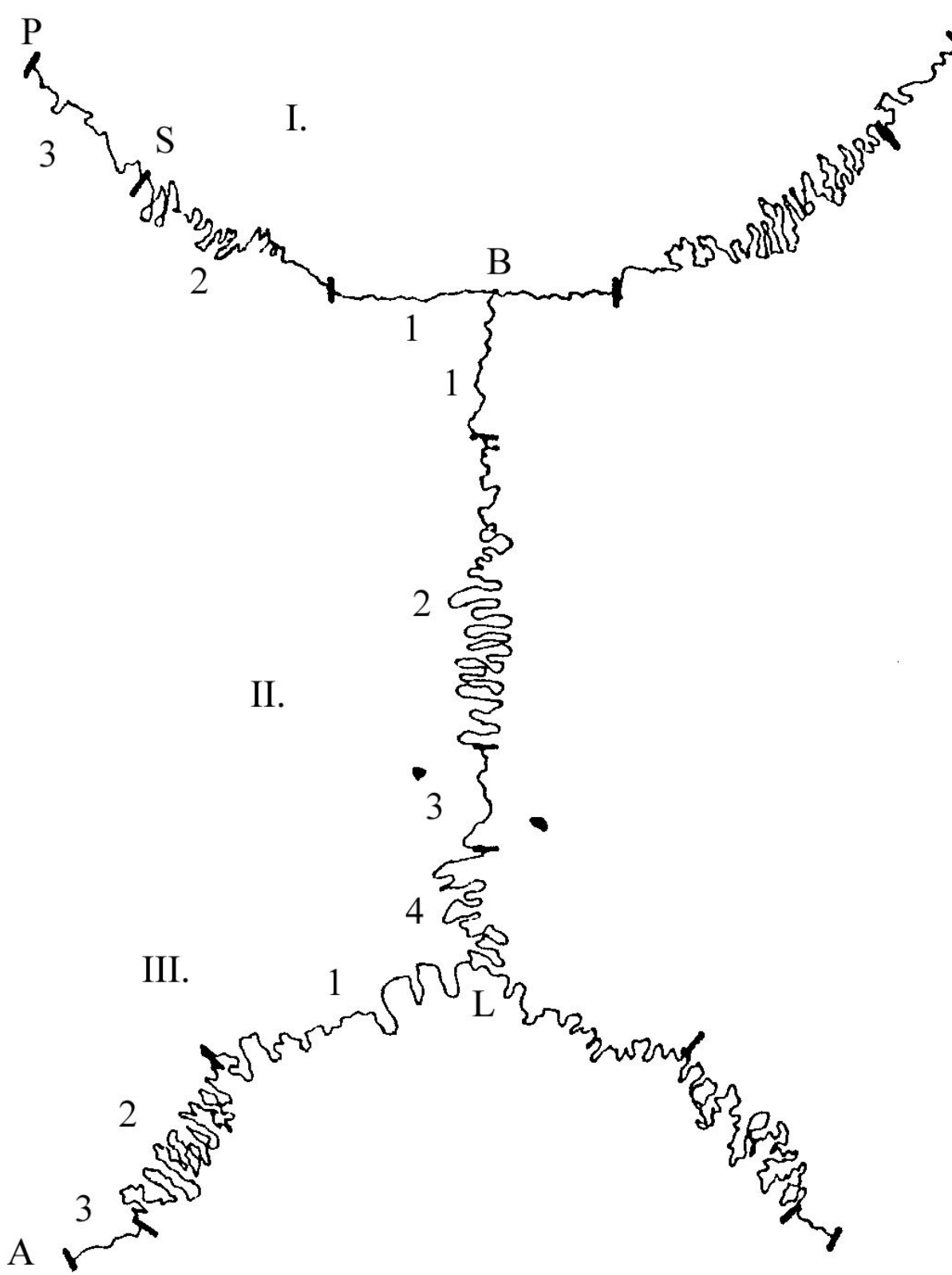
ODHAD VĚKU DOSPĚLÝCH JEDINCŮ

KOMBINOVANÉ METODY



NEMESKÉRI, J.; HARSÄNYI, LU ACSADI. G.(1960): Methoden zur Diagnose des Lebensalters von Skelettfunden. *Anthrop. Anz.*, 24.

105 JEDINCŮ, (? M, ? Ž)

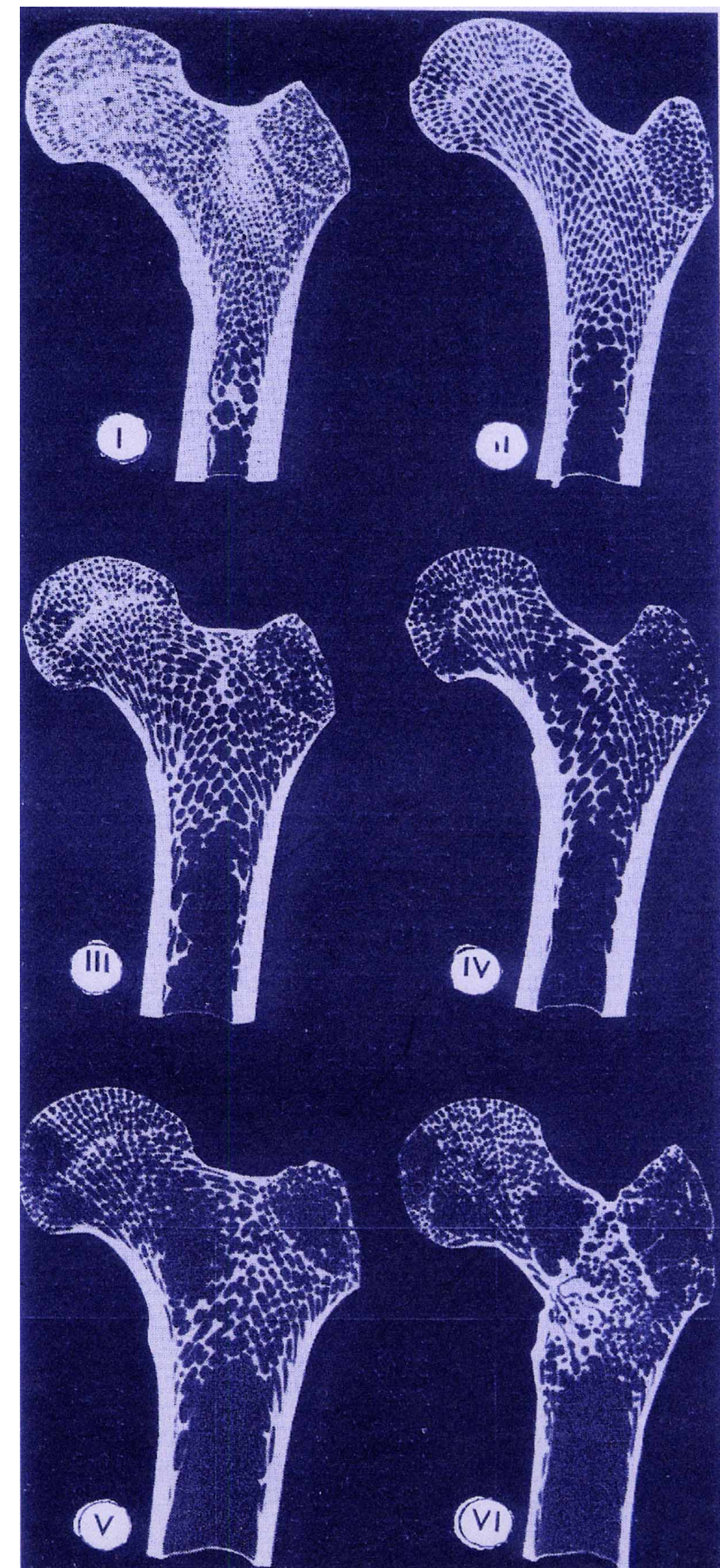
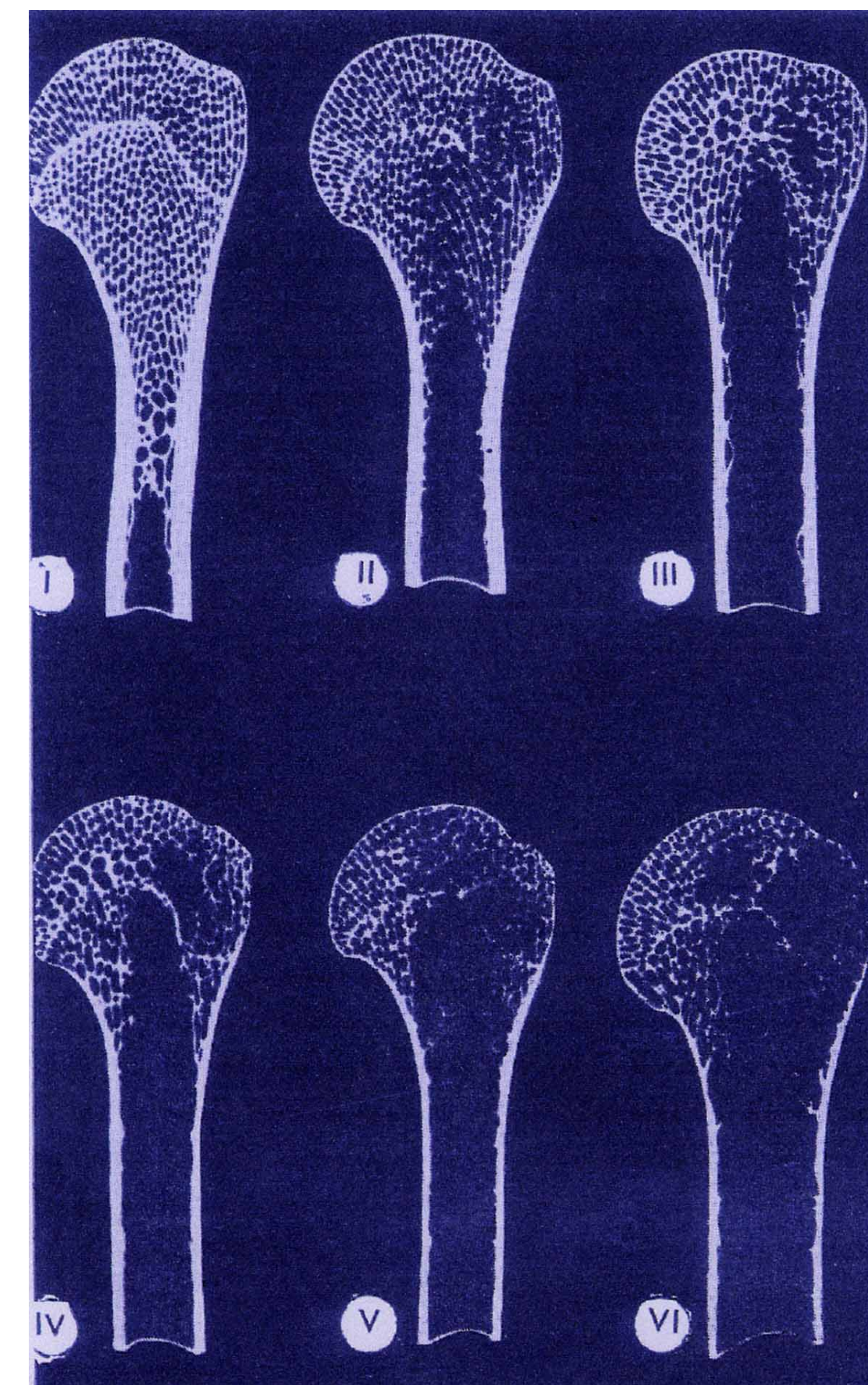
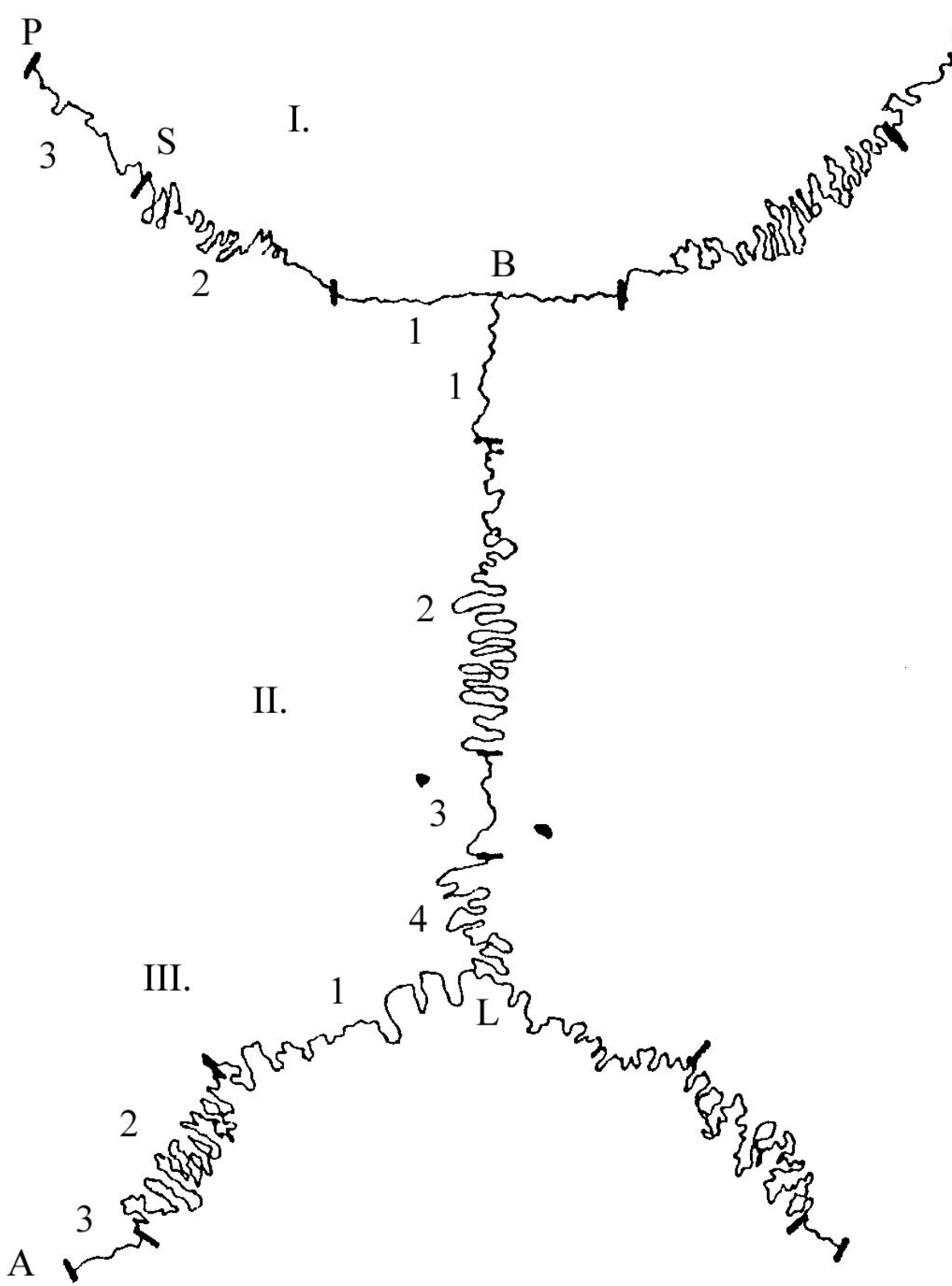


ODHAD VĚKU DOSPĚLÝCH JEDINCŮ

KOMBINOVANÉ METODY

SJOVOLD, T. Tables of combined method for determination of age at death given by Nemeskéri, Harsányi and Acsádi. ANTHROPOLOGIAI KOZLEMENYEK-ANTHROPOLOGICAL COMMUNICATIONS, 1975, 19.1: 9-22.

105 JEDINCŮ, (? M, ? Ž)



ODHAD VĚKU DOSPĚLÝCH JEDINCŮ

KOMBINOVANÉ METODY

LOVEJOY, C. Owen, et al. Multifactorial determination of skeletal age at death: a method and blind tests of its accuracy. American Journal of Physical Anthropology, 1985, 68.1: 1-14.

Facies syphysialis
Facies auricularis
Zubní obrus
Dřeňová dutina stehenní kosti
Lebeční švy

512 JEDINCŮ, (? M, ? Ž), Hamann-Todd collection

